

Politechnika Warszawska

WYDZIAŁ ELEKTRONIKI
I TECHNIK INFORMACYJNYCH



Instytut Informatyki

Praca dyplomowa inżynierska

na kierunku Informatyka
w specjalności Inżynieria Systemów Informatycznych

Opracowanie i implementacja algorytmów przydziału zasobu
porcjowanego

Adam Małkowski

numer albumu 265760

promotor
dr hab. inż. Krzysztof Pieńkosz

Warszawa 2017

Streszczenie

Tytuł: *Opracowanie i implementacja algorytmów przydziału zasobu porcjowanego*

W pracy rozpatrywany jest problem pakowania pojemników elementami częściowo podzielnymi, będący jednym z modeli problemu alokacji zasobów. Podzielność jest ograniczana przez parametr narzucający minimalny rozmiar fragmentu powstałego po podziale elementu. W pracy dokonany jest przegląd dotychczas znanych algorytmów rozwiązywania tego problemu. Zaproponowane zostają trzy algorytmy konstrukcyjne rozwiązujące problem pakowania elementów częściowo podzielnych oraz dwa algorytmy poprawy mające za zadanie poprawić upakowanie otrzymane w wyniku zastosowania algorytmu konstrukcyjnego.

Słowa kluczowe: *problem alokacji zasobu, problem pakowania pojemników, optymalizacja, algorytmy heurystyczne*

Abstract

Title: *Development and implementation of algorithms for parted resource allocation*

This paper concerns with the bin packing problem with partially fragmentable items, which is one of the models of resource allocation problem. In the case analyzed in this paper it is assumed that there is given a minimal allowed size of pieces for which items may be fragmented. The paper contains review of existing algorithms solving this version of the problem. There are proposed three construction algorithms solving bin packing problem with partially fragmentable items and two algorithms that improve the results found by the construction algorithms.

Keywords: *resource allocation, bin packing problem, optimization, heuristic*

Dziękuję Panu dr. hab. inż. Krzysztofowi Pieńkoszowi
za okazaną pomoc i wsparcie



„załącznik nr 3 do zarządzenia nr 24/2016 Rektora PW

.....
miejscowość i data

.....
imię i nazwisko studenta

.....
numer albumu

.....
kierunek studiów

OŚWIADCZENIE

Świadomy/-a odpowiedzialności karnej za składanie fałszywych zeznań oświadczam, że niniejsza praca dyplomowa została napisana przeze mnie samodzielnie, pod opieką kierującego pracą dyplomową.

Jednocześnie oświadczam, że:

- niniejsza praca dyplomowa nie narusza praw autorskich w rozumieniu ustawy z dnia 4 lutego 1994 roku o prawie autorskim i prawach pokrewnych (Dz.U. z 2006 r. Nr 90, poz. 631 z późn. zm.) oraz dóbr osobistych chronionych prawem cywilnym,
- niniejsza praca dyplomowa nie zawiera danych i informacji, które uzyskałem/-am w sposób niedozwolony,
- niniejsza praca dyplomowa nie była wcześniej podstawą żadnej innej urzędowej procedury związanej z nadawaniem dyplomów lub tytułów zawodowych,
- wszystkie informacje umieszczone w niniejszej pracy, uzyskane ze źródeł pisanych i elektronicznych, zostały udokumentowane w wykazie literatury odpowiednimi odnośnikami,
- znam regulacje prawne Politechniki Warszawskiej w sprawie zarządzania prawami autorskimi i prawami pokrewnymi, prawami własności przemysłowej oraz zasadami komercjalizacji.

Oświadczam, że treść pracy dyplomowej w wersji drukowanej, treść pracy dyplomowej zawartej na nośniku elektronicznym (płycie kompaktowej) oraz treść pracy dyplomowej w module APD systemu USOS są identyczne.

.....
czytelny podpis studenta”

Spis treści

WPROWADZENIE.....	1
1. MODELE ALOKACJI ZASOBU PORCJOWANEGO.....	2
1.1 KLASYCZNY PROBLEM PAKOWANIA POJEMNIKÓW	2
1.2 PROBLEM PAKOWANIA ELEMENTÓW CZĘŚCIOWO PODZIELNYCH	3
1.3 WYKORZYSTANA NOTACJA	4
2. ALGORYTMY ROZWIĄZYWANIA PROBLEMU BPP_B	6
2.1 PROSTE ALGORYTMY LISTOWE	6
2.2 ALGORYTM BINFFSL _B	7
3. PROPONOWANE ALGORYTMY.....	10
3.1 ALGORYTM BINFFAW _B	10
3.2 ALGORYTM BINFFSL' _B	12
3.3 POŁĄCZENIE BINFFAW _B I BINFFSL _B	14
3.4 ALGORYTMY POPRAWY	15
4. EKSPERYMENTY I PORÓWNANIE ALGORYTMÓW.....	18
4.1 ŹRÓDŁA DANYCH TESTOWYCH I NOTACJA	18
4.2 IMPLEMENTACJA ALGORYTMÓW.....	19
4.3 PORÓWNANIE PROSTYCH ALGORYTMÓW	21
4.4 EKSPERYMENTY Z ALGORYTMEM BINFFAW _B	24
4.5 EKSPERYMENTY Z ALGORYTMEM BINFFSL' _B W RÓŻNYCH WARIANTACH	27
4.6 EKSPERYMENTY Z ALGORYTMAMI BINFFAWP2 _B I BINFFSL'3 _B	29
4.7 EKSPERYMENTY Z ALGORYTMAMI POPRAWY	32
4.8 POPRAWIANIE JAKOŚCI ROZWIĄZAŃ WYKORZYSTUJĄCE CHARAKTERYSTKĘ	37
4.9 WNIOSKI	38
PODSUMOWANIE	40
BIBLIOGRAFIA	41
WYKAZ SYMBOLI I SKRÓTÓW.....	42
SPIS RYSUNKÓW, WYKRESÓW I TABEL	44
OPIS ZAWARTOŚCI PŁYTY CD	46

Wprowadzenie

Problem alokacji zasobów powszechnie występujący w otaczającej rzeczywistości jest bardzo ogólny i może być dostosowany do wielu sytuacji - co za tym idzie trudno znaleźć ogólne metody alokacji działające z rozsądną wydajnością oraz dające rozsądne wyniki. W związku z tym występuje bardzo wiele wariantów problemu oraz związanych z nimi modeli. W przypadku problemu alokacji należy zdefiniować pojęcia zasobu i podmiotu. Zasób to byt, który posiadamy lub możemy posiadać i który dystrybuujemy. Podmiotem nazywamy zaś byt potrzebujący uzyskania konkretnej ilości określonego zasobu.

Niniejsza praca dotyczy algorytmów alokacji zasobu porcjowanego do podmiotów częściowo podzielnych. Zasób porcjowany to taki, który jest dostępny w porcjach. Zwiększenie dostępności takiego zasobu wiąże się z koniecznością zdobycia kolejnej porcji zasobu, nawet jeżeli nie zostanie ona w pełni wykorzystana. W ogólnym przypadku każda porcja zasobu może mieć różny rozmiar, jednak w niniejszej pracy analizowany jest przypadek, w którym porcje zasobu mają ustalony rozmiar.

Modele alokacji zasobu porcjowanego określa się jako problemy pakowania pojemników (ang. BPP - Bin Packing Problem). Problemy te interpretują przydział zasobu jako pakowanie pojemnika pewnymi elementami. Elementy są tutaj interpretowane jako podmioty. Pojemność pojemnika reprezentuje rozmiar porcji zasobu - w niniejszej pracy jednakową dla wszystkich pojemników. Rozmiar elementu reprezentuje wartość zapotrzebowania danego podmiotu. W klasycznym przypadku problemu pakowania pojemników elementy są niepodzielne - dany element należy w całości zapakować do jednego pojemnika. Wariant z częściowo podzielnymi elementami dopuszcza możliwość podziału elementu na fragmenty podczas procesu pakowania, jednakże tylko w pewnym ograniczonym stopniu. W literaturze [3, 4, 6, 11] opisano różne podejścia do dzielenia elementów na fragmenty. Niniejsza praca skupia się na podejściu narzucającym pewien minimalny rozmiar fragmentu.

Celem pracy jest dokonanie analizy obecnie istniejących algorytmów rozwiązywania problemu alokacji zasobu porcjowanego do podmiotów częściowo podzielnych, a następnie próba zmodyfikowania ich oraz zaproponowania nowych, tak aby osiągnąć pewną poprawę generowanych upakowań.

W ramach pracy rozpatrywane zostaną zarówno algorytmy konstrukcyjne, generujące pewne konkretne upakowanie, jak również algorytmy poprawy, których działanie sprowadza się do próby modyfikacji otrzymanego wcześniej upakowania, tak aby je poprawić. Rozpatrywane w pracy algorytmy, zarówno konstrukcyjne jak i poprawy, są algorytmami heurystycznymi.

Rozdział 1 opisuje szczegółowo modele alokacji zasobu porcjowanego. Rozdział 2 jest przeglądem obecnie istniejących algorytmów rozwiązywania problemu pakowania pojemników elementami częściowo podzielnymi. Rozdział 3 dotyczy proponowanych w niniejszej pracy metod rozwiązywania rzeczonoego problemu. Rozdział 4 zawiera wyniki oraz wnioski z eksperymentów dotyczących działania opisanych algorytmów. Ostatni rozdział zawiera podsumowanie.

1. Modele alokacji zasobu porcjowanego

1.1 Klasyczny problem pakowania pojemników

W klasycznym modelu pakowania pojemników, zwanym również problemem BPP (ang. Bin Packing Problem), należy znaleźć upakowanie elementów j ze zbioru $N = \{1, \dots, n\}$ o rozmiarach w_j do jak najmniejszej liczby pojemników. Każdy pojemnik ma pojemność C .

Dla klasycznego modelu pakowania pojemników przyjmuje się założenie, że pojedynczy podmiot realizuje swoje zapotrzebowanie korzystając z dokładnie jednej porcji zasobu - co przekłada się na założenie, że pojedynczy element może być zapakowany jedynie w całości do jednego pojemnika. Założenie to ma uzasadnienie w wielu sytuacjach praktycznych. W [6] przytoczony został przykład opisujący problem zagospodarowania czasu pracowników w firmie serwisowej poprzez przypisanie im konkretnych zleceń. W opisanym problemie zasobem porcjowanym jest czas pracy pracownika, a konkretną porcją jest jeden dzień roboczy jednej osoby. Realizacja tego samego zlecenia na raty przez różnych pracowników jest zarówno dla klienta jak również właściciela firmy często nie do zaakceptowania - potencjalnie zwiększa koszty oraz zmniejsza jakość realizacji zlecenia.

Problem pakowania jest NP – *trudny* [3], w związku z tym do rozwiązywania go wykorzystuje się głównie algorytmy heurystyczne.

Istnieje bardzo wiele algorytmów rozwiązywania problemu BPP. Najprostszą klasą tych algorytmów są podejścia listowe. Metody te, w trakcie swojego działania, pakują kolejne elementy z wstępnie ustalonej listy oraz wykorzystują odpowiednią regułę pakowania elementów.

Jednymi z najpopularniejszych metod listowych są algorytmy FF (First Fit) oraz BF (Best Fit) [3]. Dla obu metod porządek elementów na liście jest dowolny. Algorytm FF pakuje kolejne elementy z listy do pojemnika o najniższym numerze, do którego da się je zapakować. Algorytm BF różni się od FF metodą wyboru pojemnika - w tym przypadku element jest pakowany do takiego pojemnika, aby po zapakowaniu elementu zostało w nim najmniej wolnego miejsca. Algorytmy te dają lepsze rezultaty jeżeli zmodyfikuje się je, sortując wcześniej listę elementów zgodnie z porządkiem malejącym. Algorytmy stosujące takie sortowanie nazwane są BFD (Best Fit Decreasing) oraz FFD (First Fit Decreasing). Algorytmy te mimo swojej prostoty są dość skuteczne.

Algorytmy zorientowane na pojemniki (ang. BOH - Bin Oriented Heuristic), to takie, które w kolejnych krokach starają się jak najlepiej zapakować kolejne pojemniki. Oznacza to, że znajdują odpowiednie elementy do zapakowania do aktualnego pojemnika, po czym przechodzą do pakowania następnego pojemnika. Pakowanie pojedynczego pojemnika sprowadza się do wybrania pewnego podzbioru elementów i przypisania pojemnikowi wszystkich elementów z wybranego podzbioru.

Wiele algorytmów zorientowanych na pojemniki podczas pakowania pojedynczego pojemnika znajduje więcej niż jeden podzbiór elementów w kontekście zapakowania jednego pojemnika. Algorytmy działające w ten sposób przygotowują parę wariantów zapakowania pojedynczego pojemnika, a następnie wybierają najlepszy z wariantów. Przykładem tego typu algorytmów są B2F (Best Two Fit) oraz MBS (Minimum Bin Slack) [1]. Algorytm B2F bazuje na algorytmie FFD. Do zapakowania kolejnych pojemników wykorzystuje on dwa podzbiory elementów - pierwszy z nich jest to wynik zapakowania jednego pojemnika algorytmem FFD, a drugi powstaje przez modyfikację pierwszego. Jeżeli w pierwszym pojemniku pozostaje wolne miejsce, zamieniany jest najmniejszy zapakowany do niego element na dwa mniejsze elementy, które zajmują więcej miejsca niż zamieniany element oraz mieszczą się do pojemnika. Algorytm MBS, w celu zapakowania kolejnego pojemnika, znajduje wszystkie warianty zapakowania pojemnika, takie, że nie da się zapakować

żadnego dodatkowego elementu z pozostałych na liście. Następnie wybiera wariant, w którym zostaje najmniej wolnego miejsca w pojemniku.

Istnieją również próby dokładnego rozwiązywania problemu pakowania pojemników. Najczęściej stosowanymi technikami są metoda podziału i ograniczeń oraz technika generacji kolumn [3, 12].

1.2 Problem pakowania elementów częściowo podzielnych

Założenie o niepodzielności elementów w klasycznym problemie pakowania ma często silne uzasadnienie praktyczne, jednakże istnieją przykłady sytuacji życiowych, dla których natura elementów pozwala na ich podzielność. Gdy możliwa jest dowolna podzielność elementów, mówimy o problemie w wariancie ciągłym. Jest on spotykany w przypadkach alokacji zasobów, których struktura pozwala na dowolne ich dzielenie. Na placu budowy zapotrzebowanie na cement dla poszczególnych grup robotników może być zrealizowane z kilku worków - będących porcjami zasobu - nawet jeżeli w poszczególnych workach znajduje się bardzo mała część całego zapotrzebowania.

Rozwiązywanie problemu w wariancie ciągłym jest trywialne oraz wykonywalne z liniową złożonością względem liczby elementów wejściowych. Problem można rozwiązywać poprzez pakowanie kolejnych elementów do pojemnika o najniższym numerze, który nie jest w pełni zapakowany. W przypadku gdy nie da się zapakować całego elementu następuje jego fragmentacja - element jest dzielony na fragment o rozmiarze równym wolnej przestrzeni w wybranym pojemniku oraz fragment będący resztą. Pierwszy z fragmentów jest pakowany do wybranego pojemnika, drugi fragment jest pakowany do następnego pojemnika. Proces ten jest kontynuowany, aż zapakowane zostaną wszystkie elementy. Algorytm ten zawsze rozwiązuje problem uzyskując upakowanie optymalne złożone z liczby pojemników równej

$$\left\lceil \frac{\text{suma rozmiarów wszystkich elementów}}{\text{rozmiar pojemnika}} \right\rceil \quad (1)$$

Problem pakowania pojemników w wariancie ciągłym ma istotne znaczenie dla analizy problemu pakowania elementów częściowo podzielnych - licznosc upakowania optymalnego dla problemu w wariancie ciągłym jest oszacowaniem dolnym licznosci upakowań w wariancie częściowo podzielnym. W przypadku klasycznego problemu pakowania jest podobnie - licznosc rozwiązania optymalnego pozwala na oszacowanie od góry rozwiązań problemu częściowo podzielnego dla tych samych danych. Jednak znalezienie rozwiązania optymalnego problemu bez podzielnych elementów jest zadaniem trudnym. Jako mniej dokładne oszacowanie górne, może być wykorzystana licznosc rozwiązania problemu dyskretnego wygenerowanego przez jeden z prostych algorytmów listowych.

Istnieją przypadki praktyczne, dla których zarówno klasyczny problem pakowania jak i problem pakowania w wariancie ciągłym nie oddają w pełni specyfiki. W pracach [5, 6] opisany został problem minimalizacji odpadów powstających przy rozkroju kształtowników (podłużnych elementów metalowych). Kształtowniki dostępne są na rynku w pewnej standardowej długości, w praktyce natomiast nabywcy potrzebują kształtowników o zróżnicowanych długościach. W tej sytuacji, praktyką jest rozkrajanie zakupionych elementów na mniejsze, zgodne z zapotrzebowaniem, bądź spawanie, jeżeli potrzebny jest element o długości większej niż standardowa. W problemie tym dopuszczalne jest wycinanie zamawianych elementów niekoniecznie w całości z tej samej porcji zasobu. Dopuszczalne jest również wykorzystanie kształtowników zespawanych z kilku krótszych elementów, jednakże występuje ograniczenie na gęstość spawów wynikające z przyczyn technologicznych - wielokrotne spawanie zmniejsza jakość otrzymanego elementu.

Inny przykład został opisany w publikacjach [3,4]. Publikacje opisują problem harmonogramowania danych przesyłanych przez sieć telewizji kablowej. Transmisja danych jest tam modelowana jako strumień ponumerowanych szczelin, gdzie każda ze szczelin, pozwala na przesłanie pewnej porcji danych. Raz na jakiś czas, centralna stacja telewizji kablowej publikuje informacje na temat przydziału najbliższych szczelin konkretnym klientom lub ich grupom. Problem polega na przydzieleniu pakietów poszczególnych klientów do szczelin. Rozpatrywane są dwa rodzaje alokacji pakietów. Pierwszy dotyczy pakietów, których przesyłanie jest związane ze sztywnymi rygorami czasowymi (np. połączenia o stałej szybkości transmisji). Został on nazwany w publikacji [3] *fixed location*. Drugi, nazwany w publikacji [3] *free location*, dotyczy pozostałych pakietów. Mogą one być kojarzone z dowolnymi szczelinami. Problem rozwiązywany jest w dwóch fazach. W pierwszej alokowane są wszystkie pakiety *fixed location*. Szczeliny im przydzielane, są wybierane tak, aby spełnić wymagane rygory. Druga faza polega na przydzieleniu pakietów *free location* do pozostałych szczelin. Pomiędzy przydzielonymi pakietami *fixed location* występują grupy wolnych szczelin. Grupy szczelin można interpretować jako pojemniki, pakiety *free location* jako elementy. Dodatkowo, pakiety *free location* mogą zostać podzielone i wysłane oddzielnie, jednakże wiąże się to z dodaniem do poszczególnych powstałych fragmentów dodatkowych informacji. Druga faza rozwiązywania może być modelowana jako problem pakowania pojemników elementami częściowo podzielonymi.

Problemy pakowania elementów częściowo podzielnych pozwalają na podzielność elementu w pewnym ograniczonym stopniu. Różni autorzy różnie podchodzili do modelowania tego zjawiska. W publikacji [11] zaproponowano narzucenie ograniczenia na liczbę fragmentów, z których składa się element. W publikacjach [3, 11] zaproponowano podejście, w którym fragmentacja wiąże się z obecnością pewnego narzutu realizowanego poprzez zwiększenie rozmiaru fragmentów. Ma to modelować sytuację, w których dzielenie lub łączenie elementów powoduje pewne straty materiału wynikające z procesu technologicznego. Kolejnym z podejść jest dodanie pewnej funkcji kosztu zwisającej się wraz z kolejnymi podziałami, jednakże nie wpływającej na rozmiar fragmentów [3].

Niniejsza praca skupia się na ograniczeniu możliwości dzielenia elementów poprzez wprowadzenie wartości wyznaczającej minimalny rozmiar fragmentu powstałego w wyniku podziału elementu. Prowadzi to do definicji problemu pakowania pojemników w wariancie częściowo podzielnym [6].

Problem BPP_β

Dany zbiór elementów $j \in N$ o rozmiarach w_j należy zapakować do jak najmniejszej liczby pojemników o rozmiarach C . Podczas pakowania elementy można dzielić na mniejsze fragmenty pod warunkiem, że rozmiary tych fragmentów nie będą mniejsze niż β .

Parametr β jest nieujemny oraz określa dopuszczalny zakres podziału elementów, jednocześnie ograniczając liczbę części na jakie mogą być podzielone elementy. Model ten reprezentuje sytuację, w których fragmenty materiału mniejsze niż β mogą być problematyczne w kontekście ich przetwarzania lub być zbyt małe ze względu na naturę problemu.

Problem BPP_β zgodnie z [6] jest problemem klasy złożoności *NP – trudne*.

1.3 Wykorzystana notacja

- C – rozmiar pojemnika
- M – zbiór pojemników
- m – liczność zbioru pojemników
- N – zbiór elementów

- n – liczność zbioru elementów
- w_j – rozmiar elementu o indeksie j
- c_i – wolne miejsce w pojemniku i
- β – parametr podzielności, minimalna wielkość fragmentu powstałego w wyniku podziału elementu
- Element podzielny – element o rozmiarze $w \geq 2\beta$
- Element niepodzielny – element o rozmiarze $w < 2\beta$

2. Algorytmy rozwiązywania BPP_β

2.1 Proste algorytmy listowe

Metody rozwiązywania BPP_β są w dużej mierze adaptacjami algorytmów rozwiązywania BPP. Niniejszy rozdział będzie dotyczył adaptacji najprostszych algorytmów listowych Best Fit, Bin First Bit i Bin Best Fit do problemu pakowania z elementami częściowo podzielными. Algorytmy Bin First Fit (BinFF) oraz Bin Best Fit (BinBF) są algorytmami zorientowanymi na pojemniki i w trakcie swojego działania próbują zapakować kolejne pojemniki – w przypadku BinFF elementami o najmniejszych numerach indeksu, które da się zapakować do aktualnie pakowanego pojemnika, a w przypadku BinBF elementami, które po dodaniu do aktualnego pojemnika pozostawią najmniej wolnego miejsca.

Pakowanie elementów w BPP_β różni się od pakowania elementów w BPP faktem, że analizując element j możliwe jest zapakowanie do pojemnika niekoniecznie całego elementu o rozmiarze w_j , ale również jego fragment o rozmiarze z przedziału $[\beta, w_j - \beta]$. Rozmiar fragmentu nie może być mniejszy niż β , więc minimalnym rozmiarem fragmentu jest β , a maksymalnym $w_j - \beta$, tak aby drugi z fragmentów również był co najmniej równy β . Zgodnie z tą zasadą, w pracy [6] została zaproponowana następująca reguła pakowania elementów częściowo podzielnych do pojemników.

Reguła pakowania 1

Dla analizowanego elementu j i pojemnika i :

- Jeżeli $w_j \leq c_i$ (rozmiar elementu j jest mniejszy bądź równy od wolnego miejsca w pojemniku i) to zapakuj elementu j do pojemnika i ,
- Jeżeli $w_j > c_i$, $w_j \geq 2\beta$ i $c_i \geq \beta$ to podziel element j oraz zapakuj do pojemnika i element o rozmiarze równym $\min\{c_i, w_j - \beta\}$,
- W przeciwnym przypadku, nie pakuj elementu j do pojemnika i .

Zgodnie z tą regułą w pracy [6] został zdefiniowany algorytm BinFF_β.

Algorytm BinFF_β (Bin First Fit)

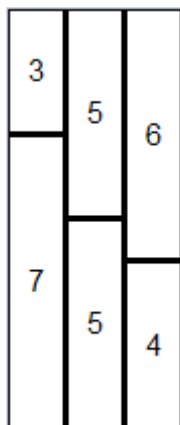
1. Utwórz listę elementów L .
2. Pobierz kolejny pusty pojemnik i .
3. Dla pojemnika i , znajdź element j z listy L o najmniejszym numerze indeksu, który da się zapakować do pojemnika i zgodnie z regułą pakowania 1. Jeżeli podczas pakowania dojdzie do podziału elementu, pozostały po podziale fragment dodaj do listy L .
4. Jeżeli pojemnik nie jest pusty oraz istnieją elementy, które da się do niego zapakować, wróć do punktu 3.
5. Jeżeli pojemnik jest pełen lub nie istnieją elementy, które da się do niego zapakować oraz lista L nie jest pusta, wróć do punktu 2.
6. Jeżeli lista elementów L jest pusta, zakończ działanie algorytmu.

Przykład działania algorytmu BinFF_β

Dane wejściowe: $C = 10$, $\beta = 3$, $L = \{7, 5, 4, 8, 6\}$

Pobierany jest pojemnik o indeksie 1. Zapakowany zostaje element o rozmiarze 7. Następnie analizowane są elementy o rozmiarach 5 i 4 ale nie udaje się ich zapakować do pojemnika. Element o

rozmiarze 8 jest dzielony na dwa fragmenty o rozmiarach 5 i 3. Fragment o rozmiarze 3 jest zapakowany do pojemnika o indeksie 1, tym samym wypełniając go. Fragment o rozmiarze 5 jest zwracany do listy L . Pobierany jest drugi pojemnik oraz zapakowany do niego element o wielkości 5. W kolejnym kroku do pojemnika zostaje zapakowany kolejny element o rozmiarze 5, tym samym wypełniając pojemnik. Następnie pobierany jest trzeci pojemnik i zapakowane do niego kolejno elementy o wielkościach 4 i 6. W ten sposób wypełniony zostaje 3 pojemnik oraz zapakowane zostają wszystkie elementy z listy L . Rysunek 2.1 przedstawia upakowanie wygenerowane w przykładzie.



Rysunek 2.1. Rezultat pracy algorytmu BinFF_β dla opisanego przykładu. Kolumny oznaczają pojemniki, białe prostokąty to zapakowane elementy.

W publikacji [6] został zdefiniowany również algorytm BinBF_β różniący się od algorytmu BinFF_β sposobem wyboru pakowanego elementu.

Algorytm BinBF_β (Bin Best Fit)

1. Utwórz listę elementów L .
2. Pobierz kolejny pusty pojemnik i .
3. Dla pojemnika i , znajdź element j z listy L po dodaniu którego, zgodnie z regułą pakowania 1, w pojemniku i zostanie najmniej miejsca. Jeżeli podczas dodawania, dojdzie do podziału elementu, pozostały po podziale fragment dodaj do listy L .
4. Jeżeli pojemnik nie jest pusty oraz istnieją elementy, które da się do niego zapakować, wróć do punktu 3.
5. Jeżeli pojemnik jest pełen lub nie istnieją takie elementy, które da się do niego zapakować oraz lista L nie jest pusta, wróć do punktu 2.
6. Jeżeli lista elementów L jest pusta, zakończ działanie algorytmu.

Eksperymentalne badania [6] pokazują, że w większości przypadków algorytm BinBF_β generuje upakowania lepsze niż algorytm BinFF_β .

Algorytmy BinFF_β i BinBF_β nie zakładają wcześniejszego uporządkowania listy elementów. Istnieją ich warianty wykorzystujące sortowanie – BinFFD_β (Bin First Fit Decreasing), BinFFI_β (Bin First Fit Increasing), BinBFD_β (Bin Best Fit Decreasing), BinBFI_β (Bin Best Fit Increasing). Wstępne sortowanie poprawia średnią jakość upakowań generowanych przez opisane algorytmy.

2.2 Algorytm BinFFSL_β

W pracy [6] został zdefiniowany algorytm BinFFSL_β (ang. Bin First Fit Small Large). Jest on znacznie lepszy od algorytmów opisanych w rozdziale 2.1. Dokładniejsze wykorzystanie pojemników wynika z wykorzystywania dużych i podzielnych elementów, głównie do dopełniania wolnego

miejsca w pojemnikach. W pierwszej kolejności zostają pakowane elementy niepodzielne, z uwagi na ich mniejszą elastyczność. Zgodnie z tym podejściem zaproponowana została reguła pakowania, która pakuje pojemniki do pełna albo do pojemności co najwyżej $C - \beta$.

Dzięki temu, tak zapakowane pojemniki można dopełnić elementami o rozmiarach $w_j > 2\beta$. Najlepsze wyniki algorytm osiąga w przypadku występowania elementów $\gg 2\beta$.

Reguła pakowania 2

Dla analizowanego elementu j i pojemnika i :

- Jeżeli $w_j = c_i$ lub $w_j \leq c_i - \beta$ zapakuj cały element j do pojemnika i ,
- Jeżeli $w_j \in (c_i - \beta, c_i)$ oraz element j jest podzielny, to zapakuj tylko fragment elementu j o wielkości $w_j - \beta$,
- Jeżeli $w_j \in (c_i, c_i + \beta)$, $c_i \geq 2\beta$ oraz element j jest podzielny, to zapakuj fragment elementu j o wielkości $c_i - \beta$,
- Jeżeli $w_j \geq c_i + \beta$ oraz element j jest podzielny, to zapakuj fragment elementu j o wielkości c_i ,
- Jeżeli nie zachodzi żaden z powyższych warunków, nie pakuj elementu j do pojemnika i .

Korzystanie z reguły pakowania 2 ma sens wtedy, gdy struktura elementów pozostałych do zapakowania daje nadzieję na dopełnianie pojemników – czyli gdy istnieją elementy podzielne i są one w stanie dopełnić pojemnik. W związku z tym, zaproponowane są następujące warunki rezygnowania z reguły pakowania 2 na rzecz reguły pakowania 1:

- W1 – pierwszy element na liście L jest niepodzielny i jego rozmiar jest większy niż $C - \beta$ (ale nie większy od c_i),
- W2 – wszystkie pozostałe elementy w liście L są niepodzielne,
- W3 – zachodzi $c_i < 2\beta$ i rozmiary w_j wszystkich pozostałych elementów na liście L są w przedziale $(c_i - \beta, c_i + \beta)$.

Po wystąpieniu któregoś z tych warunków algorytm dokańcza pakowanie danego pojemnika stosując algorytm BinBF_β (wyjątkowo, gdy wystąpi warunek W1, pakowany (zgodnie z regułą pakowania 1) jest element podczas analizy którego wystąpił i dopiero po zapakowaniu jego, algorytm zmienia działanie na zgodne z BinBF_β).

Schemat algorytmu BinFFSL_β jest następujący.

Algorytm BinFFSL_β (Bin First Fit Small Large $_\beta$)

1. Utwórz listę elementów L zgodnie z uporządkowaniem:
 - a. Na początku elementy niepodzielne (o rozmiarze $w_j < 2\beta$) w kolejności nierosnącej,
 - b. Następnie elementy podzielne (o rozmiarze $w_j \geq 2\beta$) w kolejności niemalejącej.
2. Pobierz kolejny pusty pojemnik i .
3. Dopóki pojemnik nie jest pełny i nie jest spełniony warunek W1, W2 lub W3 zastosuj regułę pakowania 2 dla kolejnych elementów j z listy L . Elementy zapakowane usuń z listy L . Fragmenty, które pozostały po podziale elementów umieść w liście L zachowując sposób jej uporządkowania.
4. Jeżeli wystąpił warunek W1 zapakuj element j do pojemnika i zgodnie z regułą pakowania 1.
5. Jeżeli pojemnik i jest pusty zastosuj dla niego algorytm BinBF_β .

6. Jeżeli lista L jest pusta to zakończ działanie algorytmu, w przeciwnym przypadku idź do punktu 2.

W publikacji [6] opisano szereg pozytywnych własności algorytmu BinFFSL_β w przypadku występowania dużych podzielnych elementów. Udowodnione zostało następujące twierdzenie.

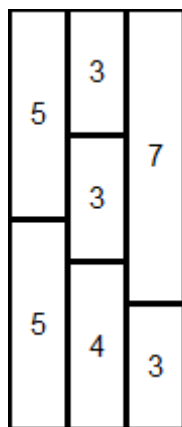
Twierdzenie. *Jeżeli dla instancji I problemu BPP_β zachodzi $C \geq 3\beta$ oraz $w_j \geq 3\beta$, $\forall j \in N$ to algorytm BinFFSL_β wyznacza rozwiązanie optymalne używające $\lceil \sum_{j \in N} w_j / C \rceil$ pojemników.*

Przykład działania algorytmu BinFFSL_β

Dane wejściowe: $C = 10$, $\beta = 3$, $Elementy = \{7, 5, 4, 8, 6\}$

Lista elementów po posortowaniu wygląda następująco: $L = \{5, 4, 6, 7, 8\}$.

Pobierany jest pojemnik o indeksie 1. Zapakowany do niego zostaje element o rozmiarze 5. Zgodnie z regułą pakowania 2 nie zostają pakowane elementy o rozmiarach 4, 6 i 7 gdyż ich zapakowanie pozostawiałoby wolne miejsce $c_i < \beta$. Element o rozmiarze 8 jest dzielony na fragmenty o rozmiarach 5 i 3. Powstały fragment o wielkości 5 jest pakowany do pojemnika 1, dopakowując do pełna pierwszy pojemnik. Fragment o rozmiarze 3 jest dodawany do listy L zachowując jej sortowanie. Po tym zabiegu lista jest postaci: $L = \{4, 3, 6, 7\}$. Pobierany jest pusty pojemnik o indeksie 2. Pakowany do niego jest element o rozmiarze 4 a następnie element o rozmiarze 3. Element o wielkości 6 jest dzielony na dwa fragmenty, oba o rozmiarze 3. Jeden z nowo powstałych fragmentów pakowany jest do pojemnika 2, drugi dodawany do listy L (w tym momencie $L = \{3, 7\}$). Tym samym zapakowany zostaje pojemnik drugi oraz pobierany pojemnik trzeci. Zostają do niego zapakowane elementy kolejno o wielkościach 3 i 7. Lista L zostaje pusta i algorytm kończy działanie generując upakowanie złożone z trzech pojemników co jest rozwiązaniem optymalnym dla zadanych danych wejściowych. Rysunek 2.2 przedstawia upakowanie wygenerowane w przykładzie.



Rysunek 2.2. Rezultat pracy algorytmu BinFFSL_β dla opisanego przykładu. Kolumny oznaczają pojemniki, białe prostokąty to zapakowane elementy.

3. Proponowane algorytmy

3.1 Algorytm BinFFAW_β

Algorytm BinFFSL_β stara się pakować w pierwszej kolejności elementy najmniej elastyczne. W niniejszym rozdziale opisany zostanie listowy algorytm BinFFAW_β (ang. Bin First Fit Average Weight), który opiera się na innym podejściu do oceny elastyczności elementów. Przyjmuje się w nim, że najmniej elastyczne są elementy niepodzielne, których rozmiar jest bliski 2β . Elastyczność elementów podzielnych wynika z liczby fragmentów, na które możemy je podzielić oraz z średniej wielkości fragmentów, zakładając najczęstsze możliwe dzielenie. Element o rozmiarze 2β można podzielić na dwa małe fragmenty o rozmiarze β , zaś element o rozmiarze 2.9β , po odkrojeniu fragmentu o rozmiarze β , pozostawia fragment o rozmiarze 1.9β - który wcześniej został określony jako jeden z najmniej elastycznych. Wynika z tego pomysł sortowania listy elementów zgodnie z malejącą wartością $\left\lfloor \frac{w_j}{\beta} \right\rfloor$ (elementy o rozmiarach równych wartości $\left\lfloor \frac{w_j}{\beta} \right\rfloor$ są ustawiane malejąco zgodnie z ich rozmiarem). Wzór ten jest jednak stosowany dla elementów j takich, że $w_j > \beta$, w przeciwnym razie $\left\lfloor \frac{w_j}{\beta} \right\rfloor$ wynosi 0. Elementy o $w_j < \beta$ ustawiane są na końcu listy, w porządku malejącym, w celu dopełniania luk w pojemnikach. W wyniku przeprowadzonych eksperymentów sortowanie zostało zmodyfikowane dla problemów, w których wartość parametru $\beta \in \left[\frac{C}{5}, \frac{C}{3}\right]$. Elementy o rozmiarze $w_j > C - \beta$ umieszczane są na liście, przed elementami o rozmiarach $w_j < \beta$, w porządku malejącym. Z uwagi na ich rozmiar elementy te są znacznie bardziej elastyczne niż pozostałe elementy podzielne.

Podczas opracowywania algorytmu przez autora niniejszej pracy analizowane były różne warianty sortowania – jedną z większych trudności było znalezienie najlepszego miejsca na elementy o rozmiarze mniejszym niż β . Ostateczna postać sortowania jest rezultatem analizy eksperymentów i próbą znalezienia najlepszego rozwiązania dla jak największej ilości danych testowych.

W trakcie działania algorytm próbuje pakować kolejne elementy z listy. Do zapakowania konkretnego elementu wykorzystana jest reguła pakowania 1. Metoda podejmuje dodatkowe działania w sytuacji, w której po zapakowaniu elementu j do pojemnika i , w pojemniku pozostaje mniej wolnego miejsca niż β . Jest to sytuacja, w której nie da się otrzymać fragmentu, który dało by się zapakować. Metoda próbuje znaleźć element lepiej wypełniający pojemnik i niż element j . W tym celu szuka elementu, przeglądając dalej listę, którego zapakowanie zamiast elementu j pozostawi w pojemniku najmniej wolnego miejsca. O ile taki element istnieje, algorytm pakuje go do pojemnika i zamiast elementu j . Heurystyka ta nie występuje w przypadku pakowania pierwszego elementu do pojemnika. Pakowanie pojemnika zaczyna się od zapakowania pierwszego elementu z listy L , który w ramach tej metody jest uważany za najmniej elastyczny. Elementem zamiennym byłby w tym przypadku bardzo duży element lub fragment o znacznie większej elastyczności. Następnie, jeżeli pojemnik nie został zapakowany do pełna, algorytm kontynuuje przeglądanie listy od miejsca występowania największego elementu niepodzielnego, mniejszego lub równego wolnemu miejscu w pojemniku.

Pełny schemat algorytmu BinFFAW_β jest przedstawiony poniżej.

Algorytm BinFFAW_β:

1. Utwórz listę elementów L .
2. Posortuj listę L zgodnie z następującymi zasadami:

- a. Elementy o wadze w przedziale $w_j \in [\beta, C - \beta]$ dla $\beta \in [\frac{C}{5}, \frac{C}{3}]$ oraz $w_j \in (\beta, \infty)$ dla pozostałych wartości parametru β posortuj w porządku malejącym względem wartości $\frac{w_j}{\lfloor \frac{w_j}{\beta} \rfloor}$, a w przypadku równych wartości $\frac{w_j}{\lfloor \frac{w_j}{\beta} \rfloor}$ na podstawie rozmiaru elementów. Posortowane elementy dodaj do listy L .
 - b. Dla $\beta \in [\frac{C}{5}, \frac{C}{3}]$ - ustaw elementy o wadze w przedziale $w_j \in (C - \beta, \infty)$ w porządku niemalejącym. Posortowane elementy dodaj na koniec listy L .
 - c. Elementy o $w_j \leq \beta$ posortuj w porządku nierosnącym. Posortowane elementy dodaj na koniec listy L .
3. Pobierz kolejny pusty pojemnik i .
 4. Dopóki pojemnik nie jest pełny zastosuj regułę pakowania 1 dla kolejnych elementów j z listy L . Elementy zapakowane usuń z listy L . Fragmenty, które pozostały po podziale elementów umieść w liście L zachowując sposób jej uporządkowania.
 - a. Jeżeli po zapakowaniu elementu j do pojemnika i w pojemniku zostaje mniej wolnego miejsca niż β ($c_i < \beta$), to przeglądaj kolejne elementy szukając elementu lepiej wypełniającego pojemnik i niż element j . Zakończ poszukiwania, jeżeli znajdziesz element, który dokładnie wypełnia pojemnik albo przejrzyś wszystkie elementy. Jeżeli znajdzie się taki element, zapakuj go zamiast elementu j .
 - b. Jeżeli po kroku 4a. w pojemniku pozostanie wolne miejsce ($c_i \neq 0$) ustaw aktualny element na największy element niepodzielny o wartości $w_j \leq c_i$.
 5. Jeżeli lista L jest pusta to zakończ działanie algorytmu, w przeciwnym przypadku idź do punktu 3.

Analiza złożoności:

Algorytm ma złożoność wielomianową i jest ona rzędu $O(n^2)$. Na złożoność składa się sortowanie $O(n \log n)$ oraz co najwyżej podwójne przejście listy dla każdego pojemnika. Potencjalne drugie przejście listy polega na cofnięciu się do elementów niepodzielnych jeżeli w pojemniku zostanie wolne miejsce $c_i < \beta$ po zakończeniu kroku 4a.

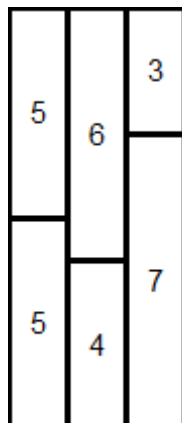
Przykład działania algorytmu BinFFAW $_{\beta}$

Dane wejściowe: $C = 10, \beta = 3, \text{Elementy} = \{7, 5, 4, 8, 6\}$

Lista elementów po posortowaniu wygląda następująco: $L = \{5, 4, 7, 6, 8\}$.

Pobierany zostaje pojemnik o indeksie 1. Pakowany zostaje do niego element o rozmiarze 5. Element o wielkości 4 może być zapakowany, ale jego zapakowanie pozostawiłoby w pojemniku wolną przestrzeń o rozmiarze 1. Sprawdzane zostają kolejne elementy (zapakowanie fragmentu o rozmiarze 4 z elementu o rozmiarze 7 pozostawi również wolne miejsce o wielkości 1, zapakowanie fragmentu o rozmiarze 3 z elementu o rozmiarze 6 pozostawi wolne miejsce o wielkości 2), aż do znalezienia elementu o rozmiarze 8. Jest on dzielony na fragmenty o rozmiarach 5 i 3. Fragment o wielkości 5 pakowany jest do pierwszego pojemnika tym samym wypełniając go. Fragment o wielkości 3 jest dodawany do listy L , która po jego dodaniu wygląda następująco $L = \{4, 7, 6, 3\}$. Pobierany jest drugi pojemnik i zapakowany zostaje do niego element o rozmiarze 4. Zapakowanie fragmentu o rozmiarze 4 z elementu 7 pozostawiłoby w pojemniku wolne miejsce o rozmiarze 2. Zapakowanie elementu o wielkości 6 dopełnia pojemnik. Pobierany zostaje trzeci pojemnik. Pakowany do niego jest element o rozmiarze 7, a następnie element o rozmiarze 3. Algorytm kończy swoje działanie gdyż lista

elementów jest pusta. Zostały użyte 3 pojemniki. Jest to rozwiązanie optymalne dla tego przykładu. Rysunek 3.1 przedstawia upakowanie wygenerowane w przykładzie.



Rysunek 3.1. Rezultat pracy algorytmu BinFFAW₈ dla opisanego przykładu. Kolumny oznaczają pojemniki, białe prostokąty to zapakowane elementy.

3.2 Algorytm BinFFSL'_β

Autor niniejszej pracy, znacząc część czasu przeznaczył na próby modyfikacji algorytmu BinFFSL_β jako, że w badaniach przeprowadzonych w pracy [6] okazał się najlepszym algorytmem do rozwiązywania problemu pakowania elementów częściowo podzielnych.

Efektem tej analizy jest powstanie nowego algorytmu nazwanego BinFFSL'_β w trzech wariantach.

Pierwszy wariant algorytmu BinFFSL'_β oznaczany jako BinFFSL'1_β, różni się od algorytmu BinFFSL_β działaniem kroku 3, a dokładniej, sposobem przeglądania elementów. W BinFFSL_β, po zapakowaniu elementu j jest analizowany element, który przed zapakowaniem elementu j , miał indeks $j + 1$. Jest to konsekwencja heurystyki mówiącej, że każdy kolejny element pakowany do pojemnika, musi być coraz bardziej elastyczny (czyli zgodnie z logiką sortowania listy, najmniej elastyczne są duże elementy niepodzielne, a najbardziej elastyczne są duże elementy podzielne). Takie podejście przeglądania listy pozwala na osiągnięcie bardzo sensownej złożoności algorytmu $O(n^2)$ wynikającej z jednego przebiegu listy w kroku 3 i jednego przebiegu listy w kroku 4. W metodzie BinFFSL'1_β po zapakowaniu niepodzielnego elementu j przeglądanie listy L rozpoczyna się od początku. Heurystyka ta jest zainspirowana poniższą obserwacją.

Analizowany jest niepodzielny element rozmiaru $\beta + a$, wolne miejsce wynosi $2 * \beta + b$, gdzie $b < a, 0 < a < \beta$. Taki element nie jest dodawany do pojemnika, gdyż pozostałoby tam niecałe β miejsca. Załóżmy, że najbliższy element, który da się zapakować zgodnie z regułą pakowania 2 ma rozmiar $\beta + b - a$. Po zapakowaniu go do pojemnika, wolne miejsce wyniesie $\beta + a$. W standardowej wersji algorytmu, iterowane będą kolejne elementy i pozostała luka zostanie wypełniona albo bardzo małym elementem oraz częścią elementu długiego, albo jedynie częścią elementu długiego. W wersji zmodyfikowanej wykorzystany zostanie element $\beta + a$.

W efekcie, metoda BinFFSL'1_β unika fragmentacji elementów podzielnych, gdy istnieje możliwość dopełnienia pojemnika elementami niepodzielnymi. Modyfikacja ta pogarsza złożoność algorytmu, gdyż po dodaniu każdego elementu niepodzielnego, część listy L jest przeglądana kolejny raz.

Algorytm BinFFSL'1_β

1. Utwórz listę elementów L zgodnie z uporządkowaniem:

- a. Na początku elementy niepodzielne (o rozmiarze $w_j < 2\beta$) w kolejności nierosnącej,
 - b. Następnie elementy podzielne (o rozmiarze $w_j \geq 2\beta$) w kolejności niemalejącej.
2. Pobierz kolejny pusty pojemnik i .
3. Dopóki pojemnik nie jest pełny i nie jest spełniony warunek W1, W2 lub W3 zastosuj regułę pakowania 2 dla kolejnych elementów j z listy L . Elementy zapakowane usuń z listy L . Fragmenty, które pozostały po podziale elementów umieść w liście L zachowując sposób jej uporządkowania. W przypadku zapakowania elementu niepodzielnego, stosowanie reguły pakowania 2 kontynuuj od pierwszego elementu na liście L .
4. Jeżeli wystąpił warunek W1 zapakuj element j do pojemnika i zgodnie z regułą pakowania 1.
5. Jeżeli pojemnik i nie jest pusty zastosuj dla niego algorytm BinBF_β .
6. Jeżeli lista L jest pusta to zakończ działanie algorytmu, w przeciwnym przypadku idź do punktu 2.

Drugi wariant algorytmu $\text{BinFFSL}'_\beta$ oznaczany poprzez $\text{BinFFSL}'2_\beta$ różni się od algorytmu $\text{BinFFSL}'_\beta$ sortowaniem dla przypadków, w których parametr β ma wartość większą niż $(\max_{j \in N} w_j)/3$. W $\text{BinFFSL}'_\beta$ elementy podzielne są sortowane zgodnie z porządkiem niemalejącym, gdyż im element jest dłuższy tym można podzielić go na więcej części – co za tym idzie, jest bardziej elastyczny. Jednak dla przypadku gdy $\beta > (\max_{j \in N} w_j)/3$ elementy podzielne mogą być dzielone na dokładnie dwa fragmenty. Wtedy bardziej elastyczne są elementy mniejsze, gdyż średni rozmiar elementów powstałych w wyniku podziału jest mniejszy. Sortowanie tych elementów w algorytmie $\text{BinFFSL}'2_\beta$ odbywa się w porządku nierosnącym. Modyfikacja ta nie wpływa na zmianę złożoności algorytmu.

Algorytm $\text{BinFFSL}'2_\beta$

1. Utwórz listę elementów L zgodnie z uporządkowaniem:
 - a. Na początku elementy niepodzielne (o rozmiarze $w_j < 2\beta$) w kolejności nierosnącej,
 - b. Następnie elementy podzielne (o rozmiarze $w_j \geq 2\beta$) ustaw: dla $\beta \leq (\max_{j \in N} w_j)/3$ w kolejności niemalejącej; w przeciwnym przypadku, w kolejności nierosnącej.
2. Pobierz kolejny pusty pojemnik i .
3. Dopóki pojemnik nie jest pełny i nie jest spełniony warunek W1, W2 lub W3 zastosuj regułę pakowania 2 dla kolejnych elementów j z listy L . Elementy zapakowane usuń z listy L . Fragmenty, które pozostały po podziale elementów umieść w liście L zachowując sposób jej uporządkowania.
4. Jeżeli wystąpił warunek W1 zapakuj element j do pojemnika i zgodnie z regułą pakowania 1.
5. Jeżeli pojemnik i nie jest pusty zastosuj dla niego algorytm BinBF_β .
6. Jeżeli lista L jest pusta to zakończ działanie algorytmu, w przeciwnym przypadku idź do punktu 2.

Trzeci wariant algorytmu $\text{BinFFSL}'_\beta$ oznaczony jest poprzez $\text{BinFFSL}'1+2_\beta$. Jest to algorytm powstały jako połączenie pierwszego i drugiego wariantu $\text{BinFFSL}'_\beta$.

Algorytm $\text{BinFFSL}'1+2_\beta$

1. Utwórz listę elementów L zgodnie z uporządkowaniem:
 - a. Na początku elementy niepodzielne (o rozmiarze $w_j < 2\beta$) w kolejności nierosnącej,
 - b. Następnie elementy podzielne (o rozmiarze $w_j \geq 2\beta$) ustaw: dla $\beta \leq (\max_{j \in N} w_j)/3$ w kolejności niemalejącej; w przeciwnym przypadku, w kolejności nierosnącej.

2. Pobierz kolejny pusty pojemnik i .
3. Dopóki pojemnik nie jest pełny i nie jest spełniony warunek W1, W2 lub W3 zastosuj regułę pakowania 2 dla kolejnych elementów j z listy L . Elementy zapakowane usuń z listy L . Fragmenty, które pozostały po podziale elementów umieść w liście L zachowując sposób jej uporządkowania. W przypadku zapakowania elementu niepodzielnego, stosowanie reguły pakowania 2 kontynuuj od pierwszego elementu na liście L .
4. Jeżeli wystąpił warunek W1 zapakuj element j do pojemnika i zgodnie z regułą pakowania 1.
5. Jeżeli pojemnik i nie jest pusty zastosuj dla niego algorytm BinBF_β .
6. Jeżeli lista L jest pusta to zakończ działanie algorytmu, w przeciwnym przypadku idź do punktu 2.

3.3 Połączenie BinFFAW_β oraz BinFFSL_β

Algorytmy BinFFAW_β oraz BinFFSL_β zostały zaprojektowane tak, aby unikać takiego pakowania pojemników, że pozostaje w nich wolne miejsce w przedziale $c_i < \beta$. Obie te metody mają podobną strukturę działania – sortują elementy zgodnie z ich elastycznością oraz pakują elementy zgodnie z pewną heurystyką, mającą na celu uniknąć pozostawiania w pojemnikach mniej niż β wolnego miejsca. W związku z tym, istnieje możliwość połączenia ich i stworzenia dwóch nowych algorytmów opartych o sortowanie z jednego oraz heurystykę z drugiego.

Algorytm $\text{BinFFSL}'_{3\beta}$ wykorzystuje sortowanie z algorytmu BinFFSL_β , a schemat pakowania algorytmu BinFFAW_β . Schemat ten nie wymaga zmian w celu dostosowania do innego sortowania.

Algorytm $\text{BinFFSL}'_{3\beta}$

1. Utwórz listę elementów L zgodnie z uporządkowaniem:
 - a. Na początku elementy niepodzielne (o rozmiarze $w_j < 2\beta$) w kolejności nierosnącej,
 - b. Następnie elementy podzielne (o rozmiarze $w_j \geq 2\beta$) w kolejności niemalejącej.
2. Pobierz kolejny pusty pojemnik i .
3. Dopóki pojemnik nie jest pełny zastosuj regułę pakowania 1 dla kolejnych elementów j z listy L . Elementy zapakowane usuń z listy L . Fragmenty, które pozostały po podziale elementów umieść w liście L zachowując sposób jej uporządkowania.
 - a. Jeżeli po zapakowaniu elementu j do pojemnika i w pojemniku zostaje mniej wolnego miejsca niż β ($c_i < \beta$), to przeglądaj kolejne elementy szukając elementu lepiej wypełniającego pojemnik i niż element j . Zakończ poszukiwania, jeżeli znajdziesz element, który dokładnie wypełnia pojemnik albo przejrzyj wszystkie elementy. Jeżeli znajdzie się taki element, zapakuj go zamiast elementu j .
 - b. Jeżeli po kroku 4a. w pojemniku pozostanie wolne miejsce ($c_i \neq 0$) ustaw aktualny element na największy element niepodzielny o wartości $w_j \leq c_i$.
4. Jeżeli lista L jest pusta to zakończ działanie algorytmu, w przeciwnym przypadku idź do punktu 3.

Algorytm $\text{BinFFAWP}_{2\beta}$ wykorzystuje sortowanie występujące w algorytmie BinFFAW_β oraz schemat pakowania występujący w algorytmie BinFFSL_β . Reguła pakowania 2 jest niezależna od sortowania. Inaczej jest w przypadku warunków zaniechania reguły pakowania 2 na rzecz reguły pakowania 1. Dla algorytmu $\text{BinFFAWP}_{2\beta}$ warunek W1 jest postaci:

- W1 – aktualny element jest niepodzielny i jego rozmiar jest większy niż $C - \beta$ (ale nie większy od c_i),

Warunki W2 i W3 brzmią identycznie jak w przypadku BinFFSL_β . Warunek W3 jest kłopotliwy implementacyjnie - w przypadku sortowania z BinFFSL_β można go bardzo łatwo sprawdzić, w przypadku sortowania z BinFFAW_β wyszukanie najmniejszego i największego elementu w liście jest bardziej kłopotliwe - nie jest wspierane bezpośrednio sortowaniem.

Algorytm BinFFAWP2_β

1. Utwórz listę elementów L .
2. Posortuj listę L zgodnie z następującymi zasadami:
 - a. Elementy o wadze w przedziale $w_j \in [\beta, C - \beta]$ dla $\beta \in \left[\frac{C}{5}, \frac{C}{3}\right]$ oraz $w_j \in (\beta, \infty)$ dla pozostałych wartości parametru β posortuj w porządku malejącym względem wartości $\frac{w_j}{\lfloor \frac{w_j}{\beta} \rfloor}$, a w przypadku równych wartości $\frac{w_j}{\lfloor \frac{w_j}{\beta} \rfloor}$ na podstawie rozmiaru elementów. Posortowane elementy dodaj do listy L .
 - b. Dla $\beta \in \left[\frac{C}{5}, \frac{C}{3}\right]$ - ustaw elementy o wadze w przedziale $w_j \in (C - \beta, \infty)$ w porządku niemalejącym. Posortowane elementy dodaj na koniec listy L .
 - c. Elementy o $w_j \leq \beta$ posortuj w porządku nierosnącym. Posortowane elementy dodaj na koniec listy L .
3. Pobierz kolejny pusty pojemnik i .
4. Dopóki pojemnik nie jest pełny i nie jest spełniony warunek W1, W2 lub W3 zastosuj regułę pakowania 2 dla kolejnych elementów j z listy L . Elementy zapakowane usuń z listy L . Fragmenty, które pozostały po podziale elementów umieść w liście L zachowując sposób jej uporządkowania. W przypadku zapakowania elementu niepodzielnego, stosowanie reguły pakowania 2 kontynuuj od pierwszego elementu na liście L .
5. Jeżeli wystąpił warunek W1 zapakuj element j do pojemnika i zgodnie z regułą pakowania 1.
6. Jeżeli pojemnik i nie jest pusty zastosuj dla niego algorytm BinBF_β .
7. Jeżeli lista L jest pusta to zakończ działanie algorytmu, w przeciwnym przypadku idź do punktu 2.

3.4 Algorytmy poprawy

Dotychczas, analizowane były algorytmy konstrukcyjne – deterministycznie generujące rozwiązanie jedynie na podstawie zbioru elementów oraz parametrów wejściowych. Inną klasą algorytmów są algorytmy poprawy. W przypadku problemu BPP_β przyjmują one na wejściu, poza parametrami, pewne upakowanie startowe i modyfikują je w określony sposób w celu poprawienia upakowania.

Podstawowy algorytm poprawy (PAP) opiera się na założeniu, że w otrzymanym upakowaniu pojemniki pełne są zapakowane zadowalająco, zaś pojemniki posiadające wolną przestrzeń są do poprawienia. Metoda usuwa z upakowania pojemniki niepełne, a elementy do nich zapakowane, dodaje do nowej listy L_p . Następnie, powstała lista jest przekazywana do pewnego algorytmu rozwiązywania BPP_β , w szczególności tego, który wygenerował początkowe upakowanie (jednakże nie jest to konieczne, dopuszczalne jest wykorzystanie innego algorytmu, prostego gdy najważniejsze jest szybkie działanie lub bardziej złożonego, gdy najistotniejsza jest minimalizacja liczby pojemników upakowania).

Podstawowy Algorytm Poprawy

1. Pobierz startowe upakowanie U wygenerowane dla problemu BPP_β .
2. Z upakowania U wyjmij pojemniki niepełne zaś elementy zapakowane do tych pojemników dodaj do listy L_P .
3. Uruchom algorytm rozwiązywania problemu BPP_β (np. ten sam, który wygenerował to upakowanie) na liście L_P .
4. Połącz upakowanie otrzymane w kroku 3 z upakowaniem U . Jeżeli otrzymane upakowanie jest lepsze niż niezmodyfikowane U , zakończ algorytm i zwróć zmodyfikowane upakowanie. W przeciwnym przypadku zakończ algorytm i zwróć niezmodyfikowane upakowanie U .

Podstawowy algorytm poprawy jest algorytmem deterministycznym, w związku z tym, przyniesie poprawę jedynie dla specyficznych upakowań, dla których elementy znajdujące się w pojemnikach niepełnych zostaną zapakowane lepiej zadany algorytmem.

Podstawowy algorytm poprawy można zmodyfikować, poprzez uruchomienie go na liczniejszej liście L_P . Należy zatem do tej listy dodać elementy również z części pełnych pojemników startowego upakowania. W związku z różną naturą upakowań generowanych przez różne algorytmy ciężko znaleźć odpowiednią metodę wyboru konkretnych pojemników. Jednym z możliwych rozwiązań jest wprowadzenie czynnika losowego i wyboru pojemnika z zadany prawdopodobieństwem. Dla zwiększenia prawdopodobieństwa rozsądnego wyboru pełnych pojemników do uwzględnienia, procedura jest powtarzana kilkakrotnie. Podczas każdej próby poprawy zwiększane jest prawdopodobieństwo dodania pełnego pojemnika – ma to spowodować oddalenie się od rozwiązania poprzedniego. Dodatkowo w pierwszej iteracji algorytmu sugerowane jest, aby prawdopodobieństwo wyboru pełnego pojemnika wynosiło 0, aby zapewnić, że wyniki będą zawsze co najmniej tak dobre jak wyniki PAP.

Randomizowany Algorytm Poprawy

1. Pobierz startowe upakowanie U wygenerowane dla problemu BPP_β .
2. Ustaw $i = 0$, gdzie i jest numerem aktualnej iteracji.
3. Dopóki $i < k$, gdzie k jest zadaną liczbą iteracji:
 - a. Wyczyść L_P .
 - b. Z upakowania U wyjmij pojemniki niepełne zaś elementy zapakowane do tych pojemników dodaj do listy L_P . Upakowanie z wyjętymi pojemnikami niepełnymi oznacz jako U^- .
 - c. Z prawdopodobieństwem $p + i * q$, gdzie p i q są zadanymi parametrami, wyjmij kolejne pojemniki z upakowania U^- , a elementy z nich dodawaj do listy L_P . W przypadku pierwszego wykonania tego kroku, p i q mają wartość 0.
 - d. Uruchom algorytm rozwiązywania problemu BPP_β (np. ten sam, który wygenerował to upakowanie) na liście L_P . Otrzymane upakowanie oznaczmy U^+ .
 - e. Jeżeli upakowanie $U_{nowe} = U^+ \cup U^-$ jest złożone z mniejszej liczby pojemników niż upakowanie U , przypisz $U = U_{nowe}$, ustaw $i = 0$. W przeciwnym przypadku zwiększ i o jeden.
 - f. Jeżeli upakowanie uzyskane w kroku e korzysta z takiej samej liczby pojemników co upakowanie optymalne dla problemu pakowania pojemników w wariantcie ciągłym dla tych samych danych (wzór (1)), zakończ algorytm i zwróć U .
4. Jeżeli $i = k$, zakończ algorytm i zwróć upakowanie U .

Złożoność algorytmu jest rzędu $O(k * m) * \text{złożoność algorytmu alokacji}$.

W kroku 4f sprawdzanie rozmiaru optymalnego rozwiązania problemu dyskretnego odbywa się poprzez porównanie liczby pojemników w upakowaniu U z wartością $\left\lceil \frac{\sum_{j \in N} w_j}{\beta} \right\rceil$.

W kroku 3c występują parametry p i q . Są to odpowiednio prawdopodobieństwo bazowe wyboru pojemnika pełnego (na podstawie eksperymentów, sensowna jest wartość 10%) oraz parametr, zwiększający prawdopodobieństwo dodania pełnego pojemnika wraz z liczbą iteracji (na podstawie wyników przeprowadzanych eksperymentów, sensowna jest wartość w przedziale $\left[\frac{10\%}{k}, \frac{20\%}{k}\right]$). Algorytm ten wykonuje się znacznie dłużej niż Podstawowy Algorytm Poprawiający co wynika z k -krotnego wyliczania rozwiązania, jednakże daje znacznie większą nadzieję na poprawienie rozwiązania i zawsze zwraca upakowania nie gorsze od upakowania zwracanego przez PAP.

4. Eksperymenty i porównanie algorytmów

4.1 Źródła danych testowych i notacja

Eksperymenty opisane w niniejszej pracy były przeprowadzane na zbiorach danych wygenerowanych przez prof. dr. Armina Scholl z Uniwersytetu Friedricha Schillera w Jenie oraz dr. Roberta Kleina z Politechniki w Darmstadt w 2003 roku pobranych ze strony Uniwersytetu Friedricha Schillera w Jenie [8, 9, 10]. Zostały przygotowane przez nich 3 zbiory danych generowane losowo oraz różniące się charakterystyką i strukturą. Zbiory te wygenerowane zostały dla problemu BPP. Autorzy podali również optymalną liczbę pojemników dla podanych instancji problemu BPP.

Pierwszy ze zbiorów "*Data set 1 for BPP-1*" zawiera 720 instancji problemu. Instancje są w grupach po 20 sztuk o identycznych cechach. Cechy rozróżniające zbiory to:

- n – liczba elementów
 - potencjalne wartości: 50, 100, 200, 500
- w_j – przedział z którego elementy są generowane
 - potencjalne wartości: [1, 100], [20, 100], [30, 100]
- c – rozmiar pojemników
 - potencjalne wartości: 100, 120, 150

Każda instancja jest określona nazwą " $NxCyWz_v$ ", gdzie symbole x , y , z i v są zastępowane przez konkretne liczby.

- $n = 50$ dla $x = 1$; $n = 100$ dla $x = 2$; $n = 200$ dla $x = 3$; $n = 500$ dla $x = 4$
- $c = 100$ dla $y = 1$; $c = 120$ dla $y = 2$; $c = 150$ dla $y = 3$
- $\forall_{j \in N} w_j \in [1, 100]$ dla $z = 1$; $w_j \in [20, 100]$ dla $z = 2$; $w_j \in [30, 100]$ dla $z = 4$
- $v \in A \dots T$ – konkretne litery odpowiadają jednej z 20 instancji cechowanej określonymi parametrami N , C , W

Drugi ze zbiorów "*Data set 2 for BPP-1*" zawiera 480 instancji problemu. Instancje te są w grupach po 10 sztuk o identycznych cechach. Cechy rozróżniające zbiory są identyczne jak w przypadku zbioru "*Data set 1 for BPP-1*", jednakże inna jest charakterystyka rozmiaru pojedynczego elementu. Występują tutaj parametry średniej wielkości elementu $avgWeight$ oraz maksymalnego odchylenia od średniej oznaczonego jako $delta$. $avgWeight$ może przyjąć wartości ze zbioru $\{\frac{c}{3}, \frac{c}{5}, \frac{c}{9}\}$. $delta$ może przyjąć wartości {20%, 50%, 90%}.

Każda instancja jest określona nazwą struktury " $NxWyBzRv$ ", gdzie symbole x , y , z i v są zastępowane przez konkretne liczby.

- $n = 50$ dla $x = 1$; $n = 100$ dla $x = 2$; $n = 200$ dla $x = 3$; $n = 500$ dla $x = 4$
- $avgWeight = \frac{c}{3}$ dla $y = 1$; $avgWeight = \frac{c}{5}$ dla $y = 2$; $avgWeight = \frac{c}{9}$ dla $y = 3$
- $delta = 20\%$ dla $z = 1$; $delta = 50\%$ dla $z = 2$; $delta = 90\%$ dla $z = 3$
- $v \in \{0, 1, \dots, 9\}$ – konkretne liczby odpowiadają jednej z 10 instancji cechowanej określonymi parametrami N , W , B

Trzeci ze zbiorów "*Data set 3 for BPP-1*" zawiera 10 instancji problemu o takiej samej charakterystyce.

$$n = 200, c = 100000, \forall_{j \in N} w_j \in [20000, 35000]$$

Są to najtrudniejsze przypadki testowe dla problemu BPP. Każda instancja jest określona nazwą "HARD v ", gdzie $v \in \{0, 1, \dots, 9\}$ i odpowiada za identyfikację konkretnej instancji.

Wszystkie eksperymenty przeprowadzone w tej pracy korzystają z opisanych zbiorów danych. Na potrzeby eksperymentów elementy należące do opisanych zbiorów są podzielne, a o stopniu ich podzielności decyduje parametr β określający minimalny rozmiar fragmentu oraz będący parametrem wejściowym wykorzystanych metod.

4.2 Implementacja algorytmów

Biblioteka implementująca algorytmy rozwiązywania problemu BPP $_{\beta}$ została napisana w języku C++ 11. Wybór języka był podyktowany głównie szybkością działania - wszystkie opisane algorytmy są dość proste w implementacji, co za tym idzie, nie ma potrzeby wykorzystywania języków bardzo wysokiego poziomu, które za swą złożoność płacą wolniejszym działaniem. C++ 11 poza szybkością oferuje szeroką bibliotekę standardowych algorytmów dzięki której można uniknąć implementacji kontenerów, algorytmów sortowania oraz części kodu związanego z pobraniem danych z plików. Kod został napisany w paradygmacie obiektowym i jest biblioteką udostępniającą funkcje uruchamiające algorytmy. Implementacja odbyła się w środowisku Microsoft Visual Studio 2013 na licencji studenckiej dla studentów Politechniki Warszawskiej. Wybór narzędzia Microsoftu był podyktowany językiem, znajomością tego narzędzia oraz mnogością funkcjonalności ułatwiających pisanie oraz utrzymywanie kodu.

Do przechowywania upakowań skorzystano ze struktury typu `deque<deque<Element>>` - zewnętrzny kontener odpowiada za przechowywanie pojemników a wewnętrzny reprezentuje pojemnik. Klasa **Element** zawiera informacje o poszczególnym elemencie

```
class Element
{
public:
    //metody pobierające i ustawiające
private:
    int index;
    int value;
};
```

Wartość **index** jednoznacznie identyfikuje, którym elementem albo fragmentem, którego elementu zadanego na wstępie jest dany obiekt. Wartość ta propaguje się przy podziale elementów. Wartość **value** odpowiada wadze danego elementu lub fragmentu.

Kontener **deque** ze standardowej biblioteki C++ został wybrany ze względu na szybki dostęp do dowolnego elementu jak również możliwość pracy jak na kontenerze typu listowego.

W większości przypadków do sortowania wykorzystana jest funkcja `sort` ze standardowej biblioteki C++ wraz z funkcjami porównującymi elementy napisanymi odpowiednio do różnych porządków występujących w implementacji.

Eksperymenty z użyciem opisanej biblioteki odbywają się na maszynie klasy PC z procesorem Intel Core i5-4570 taktowanym częstotliwością 3.20 GHz działającym na systemie operacyjnym Windows 7.

Obsługa biblioteki

Za funkcjonalność biblioteki odpowiada klasa `AlgorithmsBBP`, której metody pozwalają na wywołanie konkretnych algorytmów. Biblioteka korzysta z pól pomocniczych jej obiektów wspólnych dla wielu algorytmów - efektem tego jest absolutny zakaz wykonywania równolegle więcej niż jednej instancji jednego algorytmu na jednym obiekcie tejże klasy. Każdy wątek powinien posiadać swój własny obiekt `AlgorithmsBBP`.

Aby rozpocząć pracę z biblioteką należy utworzyć nowy obiekt klasy `AlgorithmsBBP` oraz skonfigurować go poprzez ustawienie parametrów. Parametry są ustawiane przy pomocy metod `setPARAM(value)` gdzie "PARAM" to nazwa parametru. Dostępne parametry to:

- `B` – parametr β (domyślnie `0`)
- `C` – rozmiar pojemnika (domyślnie `0`)
- `CorrectionIterationCount` – liczba powtórzeń w przypadku RAP (domyślnie `0`)
- `P` – prawdopodobieństwo dodania pełnego pojemnika dla RAP (domyślnie `0`)
- `Q` – wzrost prawdopodobieństwa dodania pełnego pojemnika dla RAP (domyślnie `0`)
- `Debug` – parametr w przypadku ustawienia na `true` powoduje uaktywnienie szeregu zabezpieczeń w trakcie wykonywania programu, potencjalnie przydatne w przypadku wprowadzania zmian w kodzie biblioteki (domyślnie `false`)
- `PrintLvl` – parametr określa stopień dokładności wypisywania informacji o przebiegu działania algorytmów, przyjmuje wartości `0`, `1`, `2` (domyślnie `0`)

Aktualną wartość parametru można sprawdzić za pomocą metody `getPARAM()`.

Aby uruchomić wybraną metodę pakowania należy skorzystać z jednej z metod:

- `BFD` (`deque<Element> input`) - Best Fit Decreasing
- `BFDB` (`deque<Element> input`) - Best Fit Decreasing β
- `BinFFDB` (`deque<Element> input`) - Bin First Fit Decreasing β
- `BinBFIB` (`deque<Element> input`) - Bin Best Fit Increasing β
- `BinFFSLB`(`deque<Element> input`, `bool versionPrim1`, `bool versionPrim2`, `Correction withCorrection`) - Bin First Fit Small Large β
 - `bool versionPrim1` - ustawienie parametru powoduje uruchomienie algorytmu `BinFFSL'1 β`
 - `bool versionPrim2` - ustawienie parametru powoduje uruchomienie algorytmu `BinFFSL'2 β`
 - W przypadku ustawienia obu powyższych parametrów metoda uruchamia algorytm `BinFFSL'1+2 β`
 - `Correction withCorrection`- parametr pozwala na automatyczne uruchomienie algorytmu poprawy po zakończeniu pakowania, możliwe wartości: `Correction::NO`, `Correction::BASE`, `Correction::RANDOM`
- `BinFFAWB`(`deque<Element> input`, `bool withBinFFSLsort`, `Correction withCorrection`) - Bin First Fit Average Weight β
 - `bool withBinFFSLsort` - ustawienie parametru powoduje uruchomienie algorytmu `BinFFSL'3 β`
- `BinFFAWP2B`(`deque<Element> input`, `Correction withCorrection`) - Bin First Fit Average Weight Pack 2 β
- `correct` (`Correction type`, `deque<deque<Element>> input`, `Algorithm alg`) - funkcja uruchamiająca algorytm poprawy

- **Correction type** - parametr definiujący typ algorytmu poprawy
- **Algorithm alg** - parametr pozwala wybrać funkcję pomocniczą algorytmu poprawy

Wszystkie opisane metody zwracają obiekt typu `deque<deque<Element>>` przechowujący wygenerowane upakowanie. W przypadku algorytmów konstrukcyjnych parametr `deque<Element>` `input` przyjmuje zbiór elementów do zapakowania. W przypadku algorytmu poprawy `deque<deque<Element>>` `input` przyjmuje upakowanie startowe, parametr `alg` jest związany z następującym typem wyliczeniowym:

```
enum Algorithm {
    BFD, BFDB, BinFFD, BinBFIB, BinFFAWB, BinFFAWP2B, BinFFSLB
};
```

4.3 Porównanie prostych algorytmów

W niniejszym podrozdziale omówione są eksperymenty z rozwiązywaniem problemu BPP_β korzystając z prostych algorytmów listowych. Przytoczone wyniki będą służyć za kontekst do analizy algorytmów zaproponowanych i opisanych w pracy.

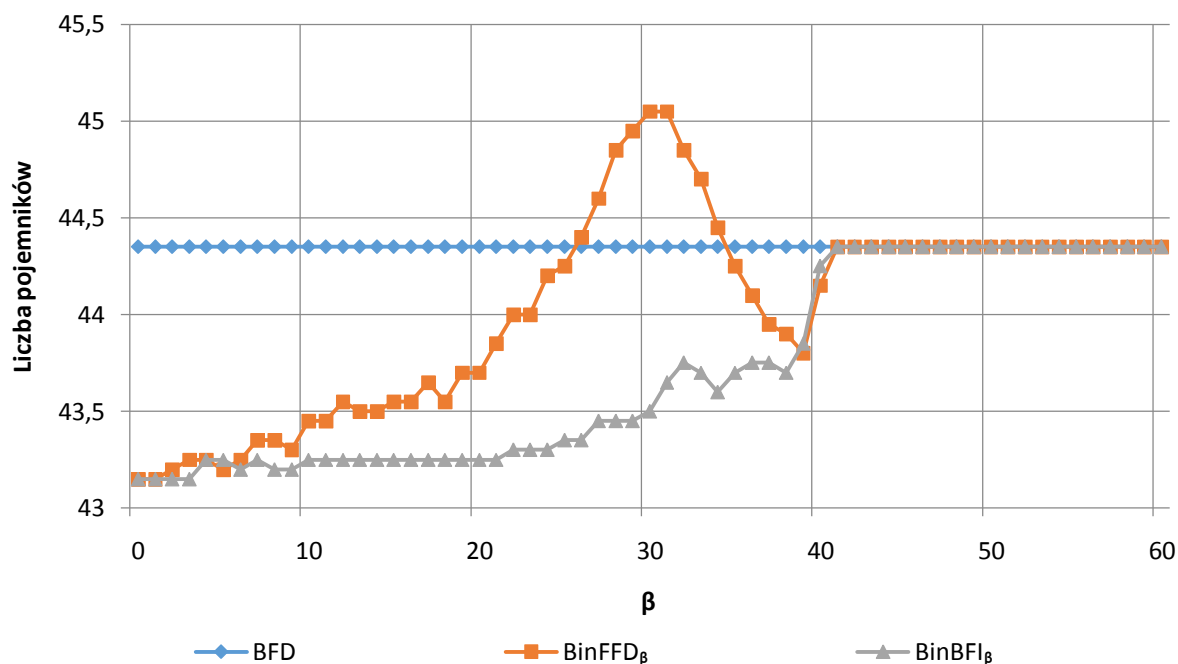
Porównanie algorytmów będzie prezentowane na 4 instancjach danych wejściowych ze zbiorów [8, 9, 10].

Do prostych algorytmów na potrzeby tej pracy zaliczają się algorytmy Bin First Fit $_\beta$, Bin Best Fit $_\beta$ wraz z ich wersjami poprzedzonymi sortowaniem. Reprezentantami tej klasy algorytmów do porównań zostały wybrane BinFFD $_\beta$ oraz BinBFI $_\beta$. Przytoczone zostaną również wyniki algorytmu BFD dla klasycznego problemu pakowania (bez stosowania podziału elementów).

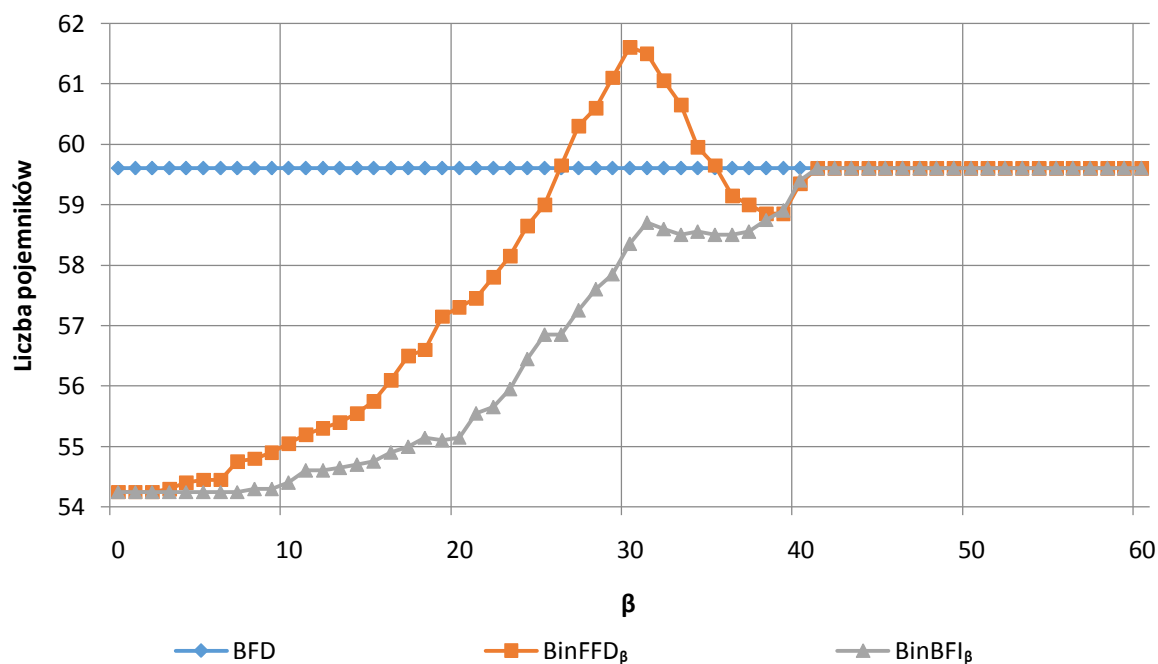
Liczba pojemników na wykresie oznacza średnią liczbę pojemników w upakowaniach wygenerowanych przez algorytm na zbiorze danych testowych N2C2W1 dla wszystkich 20 instancji problemu dla danego algorytmu. Na osi OX zaznaczona jest wartości parametru β .

Na potrzeby eksperymentów, parametr β jest całkowitoliczbowy.

Dane N2C2W1 charakteryzują się występowaniem elementów zarówno bardzo małych jak również bliskich rozmiarem wartości C . Wykres 4.1 pokazuje, że ewidentnie najlepiej radzi sobie algorytm BinBFI $_\beta$. Algorytm BinFFD $_\beta$ w pewnym, dość dużym zakresie argumentów, daje wyniki gorsze od wyników osiągniętych dla klasycznego problemu pakowania. Wraz z instancjami danych opublikowane zostały [8, 9, 10] liczności upakowań optymalnych dla problemu BPP. Algorytm BFD dla danych N2C2W1 generuje upakowania korzystające z tej samej liczby pojemników co upakowania optymalne. W związku z tym wyniki algorytmu BFD są oszacowaniem górnym sensownych wyników problemu pakowania elementów częściowo podzielnych. Oszacowaniem dolnym jest wartość optymalna rozwiązania problemu pakowania pojemników w wariancie ciągłym wyrażonego wzorem (1). Jest to wartość osiągnięta przez wszystkie opisywane metody rozwiązywania problemu BPP_β dla $\beta = 0$.

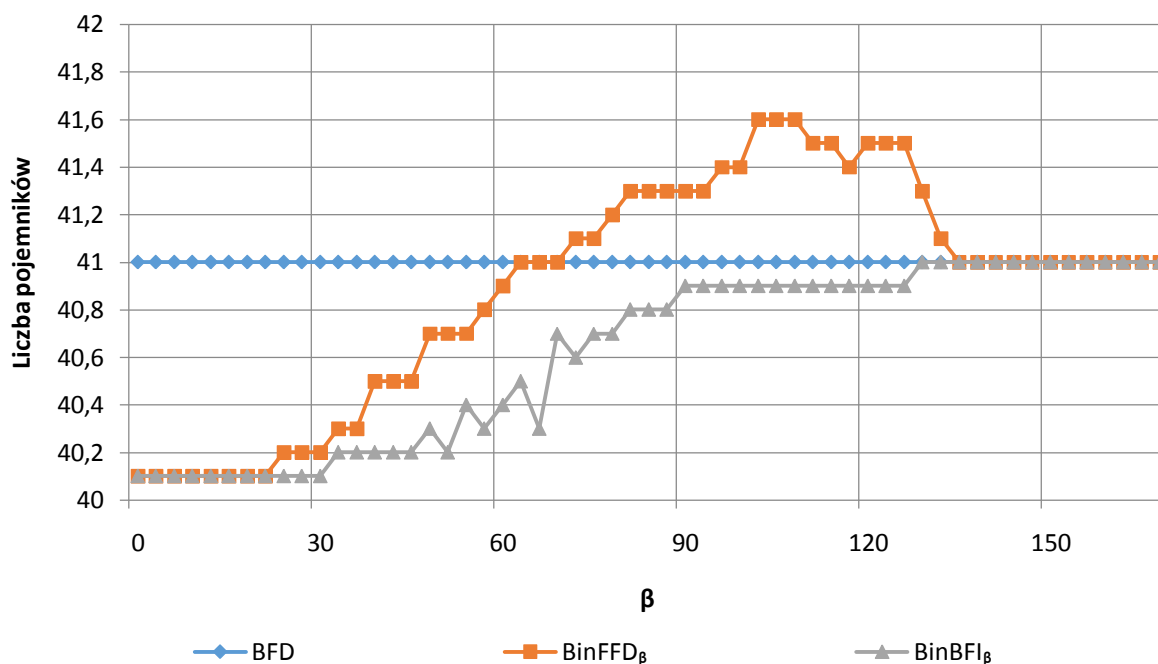


Wykres 4.1 Porównanie działania prostych algorytm dla danych N2C2W1



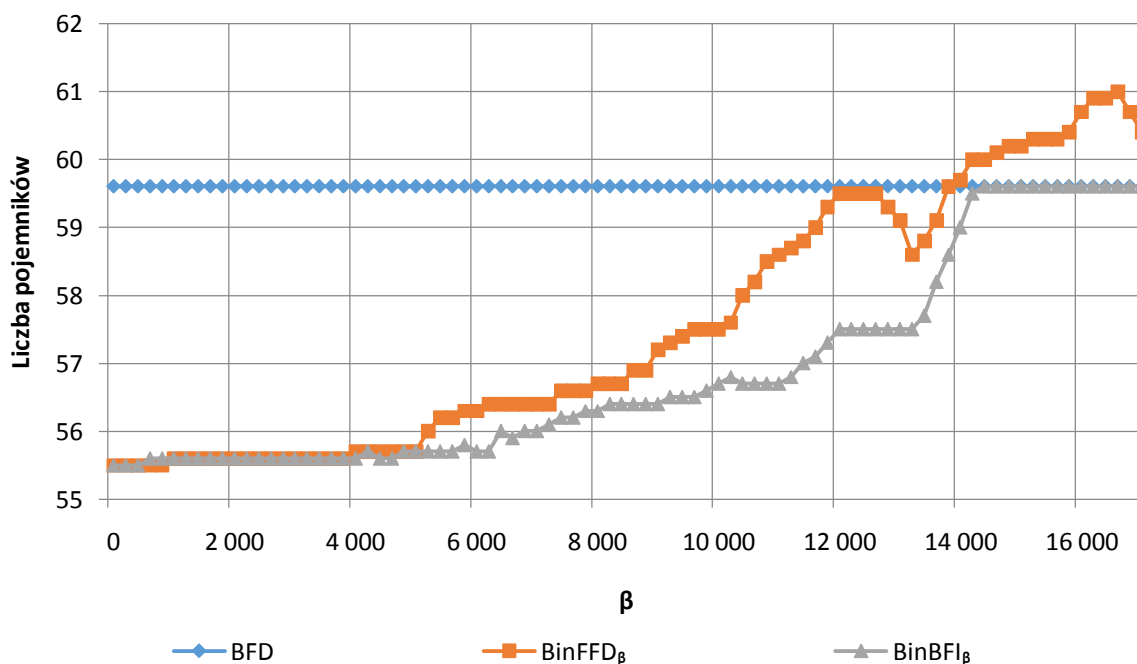
Wykres 4.2 Porównanie działania prostych algorytm dla danych N2C2W4

Analizując wykres 4.2 pokazujący rezultaty dla danych N2C2W4 można wyciągnąć podobne wnioski. Tutaj także algorytm BFD rozwiązuje klasyczny problem pakowania optymalnie. Główną zauważalną różnicą jest wyżej położona charakterystyka działania algorytmów w wariancie częściowo podzielny względem zarówno rozwiązania klasycznego problemu pakowania jak i rozwiązania problemu ciągłego. Wynika to z braku elementów bardzo małych, które potrafią uzupełnić małe wolne przestrzenie w pojemnikach.



Wykres 4.3 Porównanie działania prostych algorytm dla danych N2W2B2

Kolejny zbiór, N2W2B2 (Wykres 4.3) zawiera dane jeszcze trudniejsze dla wariantu częściowo podzielnego. Zbiór ten charakteryzuje się średnim rodzajem elementu równym $c/5 = 200$. Oznacza to, że już dla $\beta \geq 90$ przeciętny element jest bardzo słabo podzielny. Również dla tych danych algorytm BFD wyznacza rozwiązanie optymalne. Średnia liczba pojemników na wykresach dotyczących danych N2W2B2 jest wyliczana dla $\beta = 3 * k$, $k = 0, 1, \dots, 56$. Linie łączące punkty są dodane dla zwiększenia czytelności wykresu.



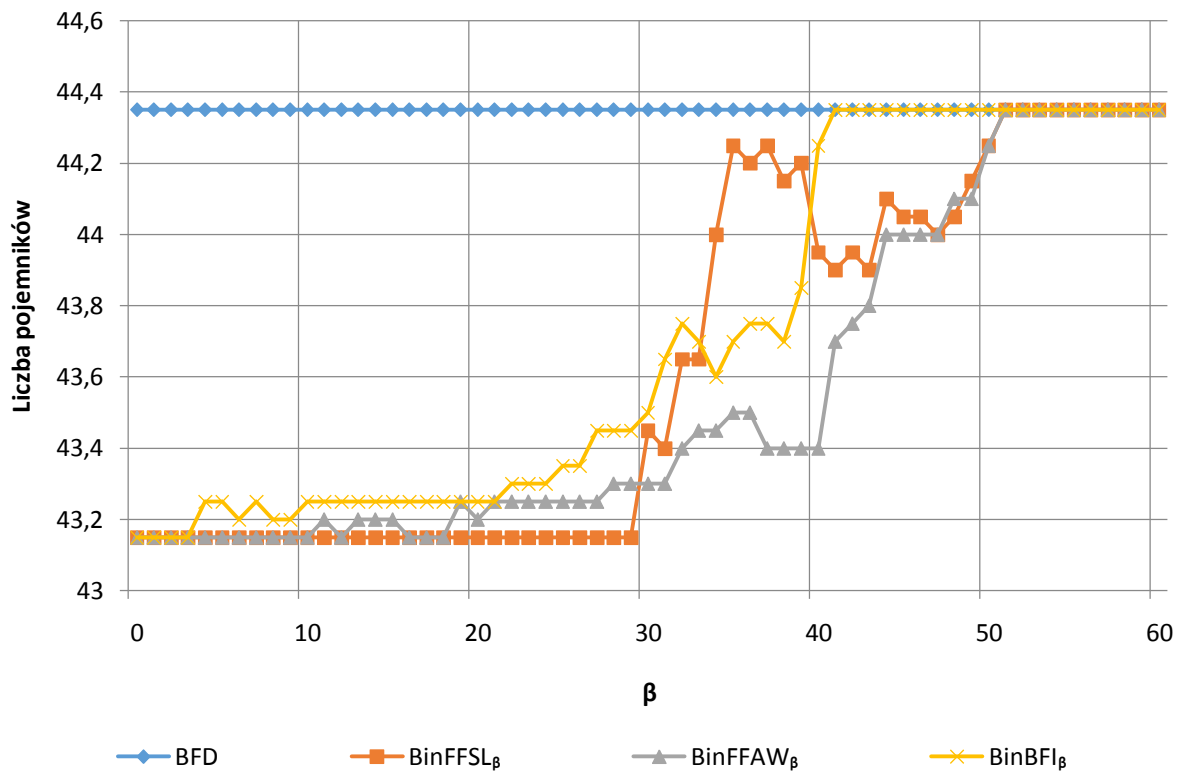
Wykres 4.4 Porównanie działania prostych algorytm dla danych HARD

Wykres 4.4 przedstawia wyniki działania prostych algorytmów dla danych HARD. Mimo nazwy wskazującej na trudność, są to jedne z prostszych danych dla problemu pakowania elementów częściowo podzielnych, gdyż największe elementy są ciągle około 3 razy mniejsze od rozmiaru pojemnika. W związku z tym, różnice między wynikami osiąganymi przez różne algorytmy dla tych danych są mniejsze. Widać tutaj dość podobne wyniki osiągane przez wszystkie metody, mimo, że najczęściej algorytmy BinFFD_β prezentują się znacznie gorzej niż BinBFI_β .

Na wykresach dla zbiorów danych HARD średnia liczba pojemników jest wyliczana dla $\beta = 200 * k$, $k = 0, 1, \dots, 100$. Wynika to z bardzo dużego rozmiaru pojedynczych elementów i małych zmian upakowań dla bliskich sobie wartości parametru β .

Wyniki otrzymane w tym rozdziale będą służyć za wyniki referencyjne, w szczególności rezultaty osiągane przez algorytm BFD jako pewna granica jakości upakowania oraz punkt odniesienia.

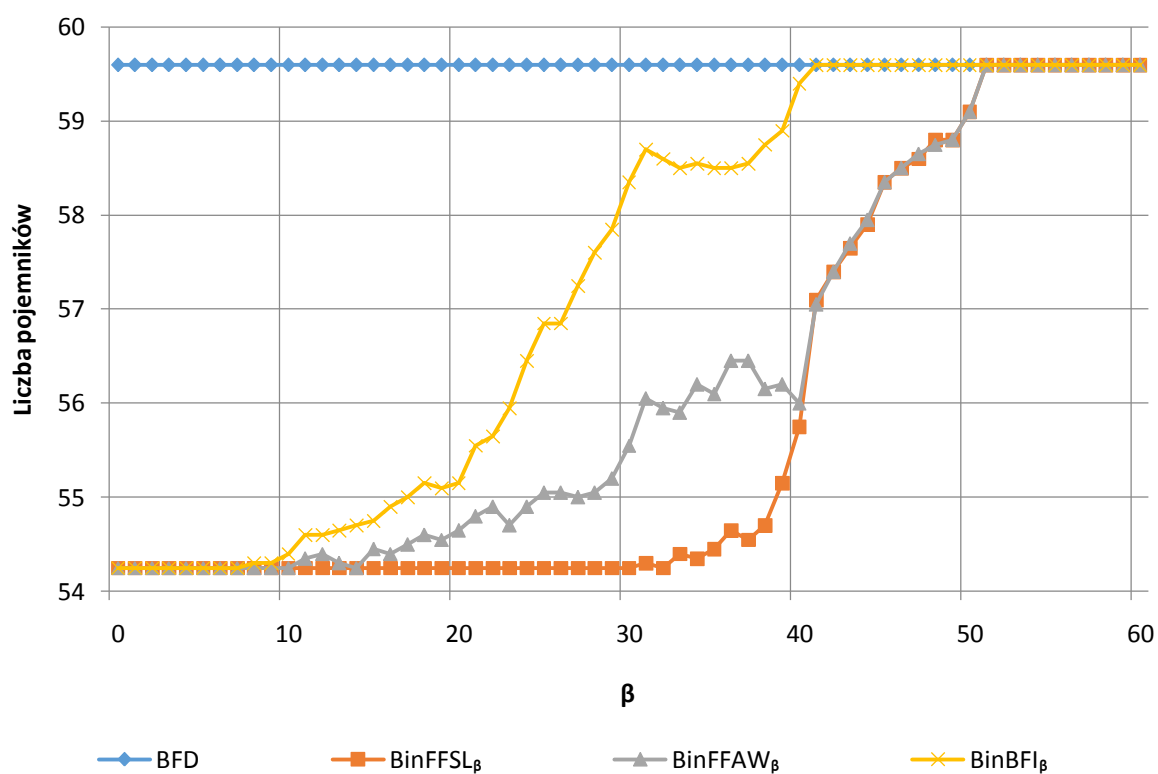
4.4 Eksperymenty z algorytmem BinFFAW_β



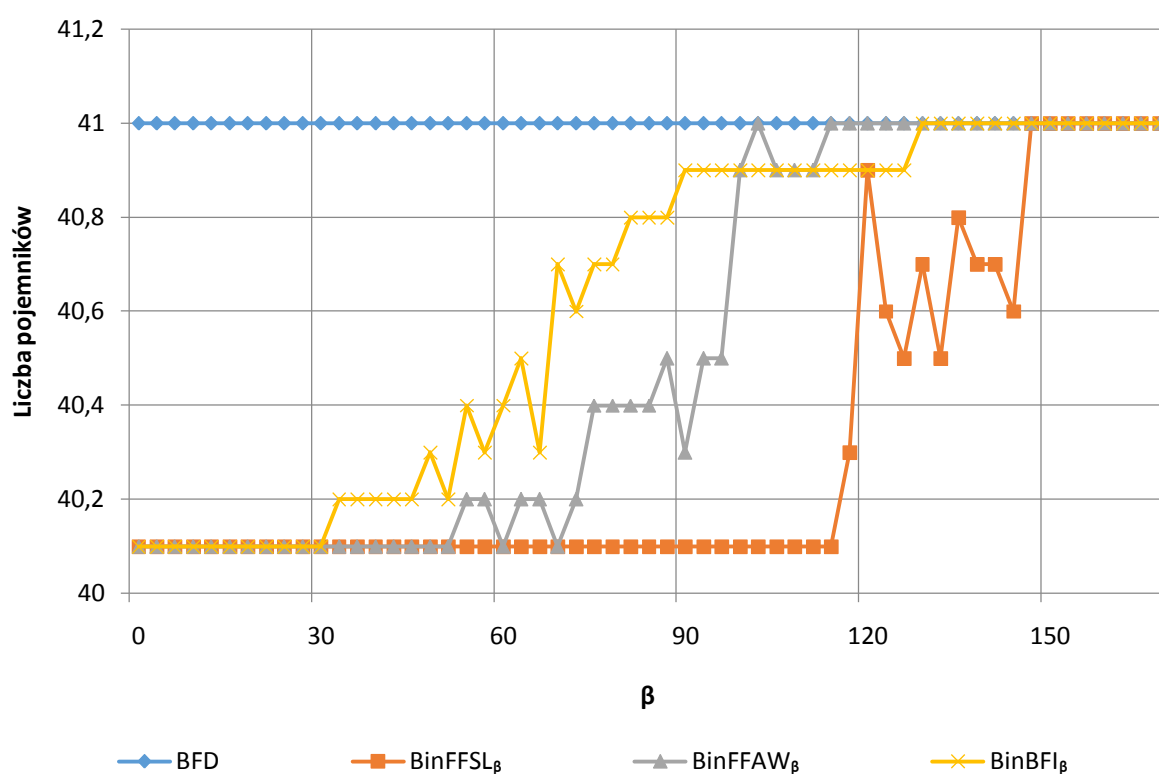
Wykres 4.5 Wyniki działania BinFFAW_β dla danych N2C2W1

Działanie i efekty osiągnięte przez BinFFAW_β zostaną przedstawione w porównaniu do standardowej wersji algorytmu BinFFSL_β , algorytmu BinBFI_β oraz algorytmu BFD. Na przykładzie danych N2C2W1 (Wykres 4.5) widać, że BinFFAW_β daje wyniki znacznie lepsze niż proste algorytmy oraz algorytm BinFFSL_β dla tych danych w zakresie $\beta > 30$. Różnica pomiędzy wynikami działania algorytmu BinFFSL_β a algorytmu BinFFAW_β jest bardzo duża. Jest to charakterystyczne dla danych NxCxW1 charakteryzowanych występowaniem bardzo małych elementów.

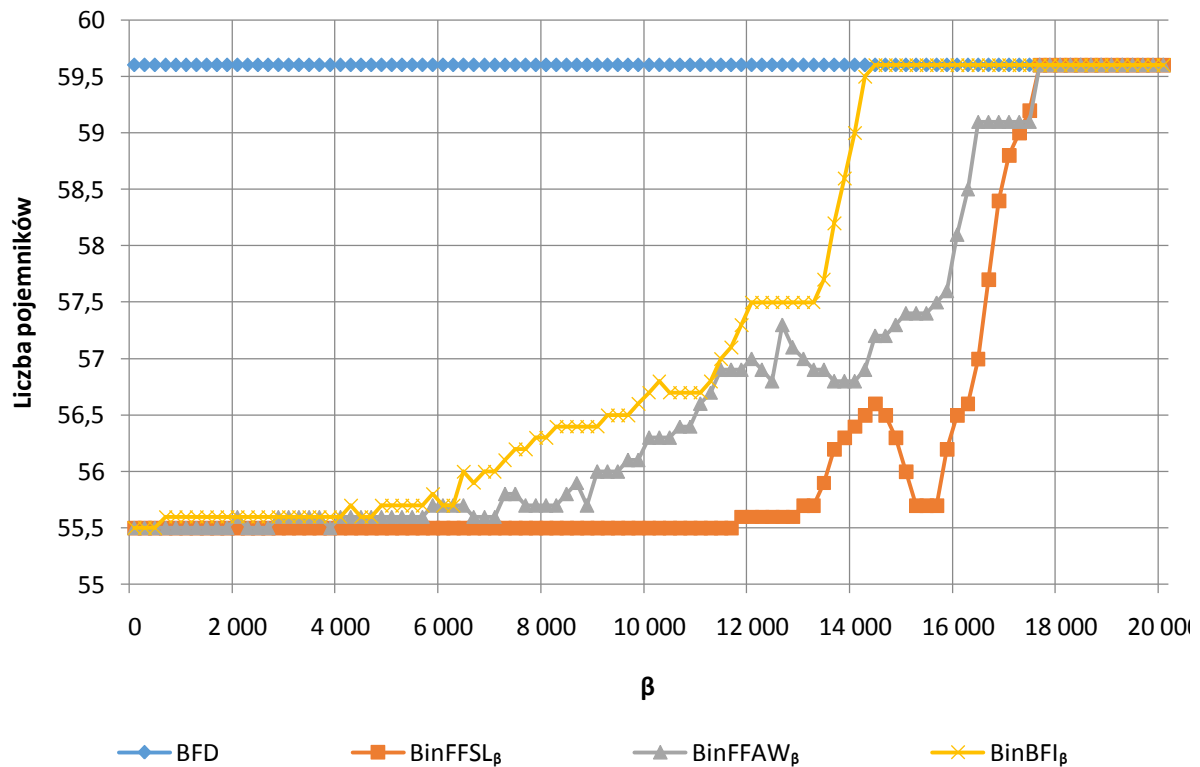
Algorytm BinFFAW_β , zgodnie z oczekiwaniami działa dość szybko, generacja upakowań dla całkowitoliczbowych wartości $\beta \in [0, 60]$ zajęła 10,73 sekundy, gdzie generacja upakowań w analogicznym przypadku dla algorytmu BinFFSL_β trwała 8,583 sekund.



Wykres 4.6 Wyniki działania algorytmu BinFFAW_β dla danych N2C2W4



Wykres 4.7 Wyniki działania algorytmu BinFFAW_β dla danych N2W2B2



Wykres 4.8 Wyniki działania algorytmu BinFFAW_β dla danych HARD

Na wykresie 4.6 przedstawiającym wyniki dla danych N2C2W4 linie związane z poszczególnymi metodami są od siebie bardziej oddalone. Algorytm BinFFSL_β daje znacznie lepsze rezultaty niż dla N2C2W1. Algorytm BinFFAW_β osiąga wyniki znacznie lepsze niż BinBFI_β na całym przedziale oraz bardzo podobne do wyników BinFFSL_β dla $\beta < 10$ oraz $\beta > 40$. Na środku przedziału prezentuje się gorzej.

Wyniki dla kolejnych dwóch zbiorów danych (Wykresy 4.7 i 4.8) potwierdzają dotychczasowe spostrzeżenia. Algorytm BinFFAW_β jest szybki i daje wyniki pomiędzy wynikami BinFFSL_β, a wynikami algorytmów prostych. Dla danych N2W2B2 dla dość niskiego β algorytm zaczął osiągać wyniki identyczne jak dla problemu dyskretnego. Te dane mają też pewną specyficzną cechę - różnica pomiędzy średnią wartością rozwiązań klasycznego problemu pakowania a problemu pakowania w wariancie ciągłym wynosi niecały 1 przy liczbach rzędu 40. Oznacza to, że wystarczy jeden pojemnik więcej wygenerowany dla jednej instancji problemu, i średnia wartość rośnie o 0,05 co na tym wykresie jest już zauważalne. Przy tak małych różnicach, ciężko o wyciąganie daleko idących wniosków.

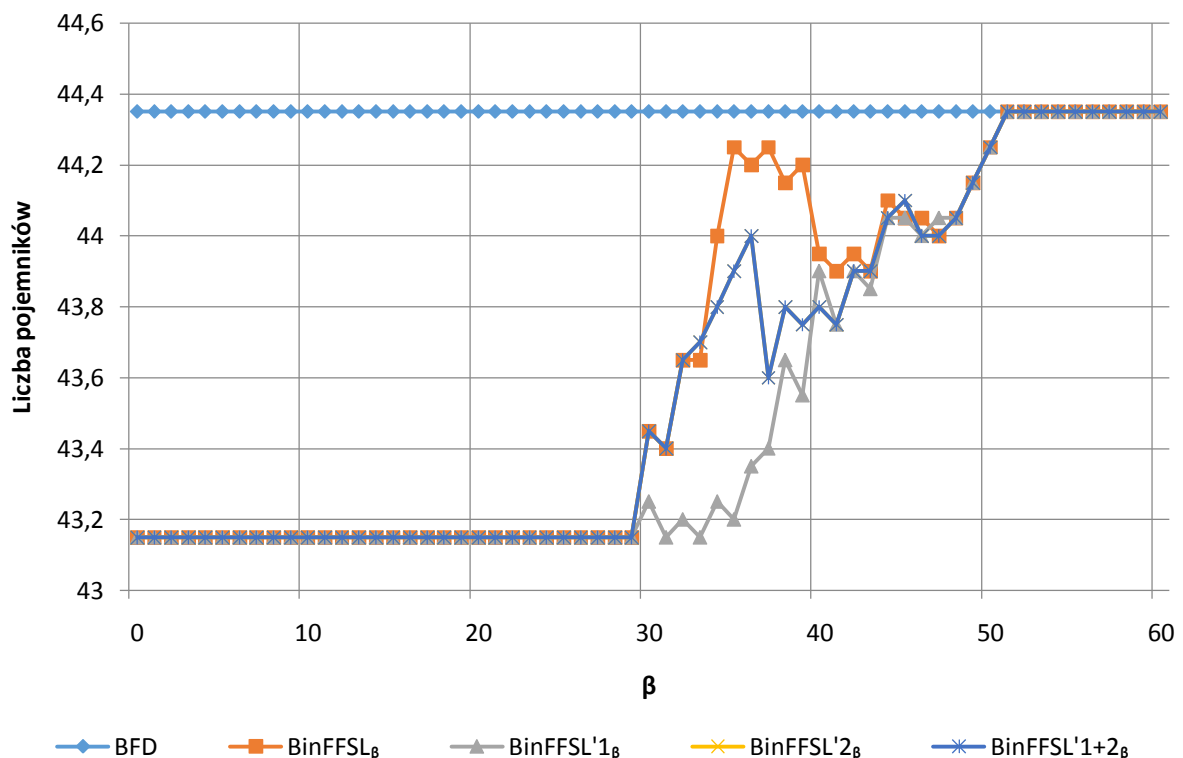
Warte do odnotowania, przy okazji analizy danych HARD jest, że BinFFAW_β daje wyniki lepsze niż wyniki dla problemu dyskretnego dla $\beta < 17\,500$ gdzie algorytmy proste sprawdzały się jedynie do około $\beta < 14\,000$.

Podsumowując, istnieją zbiory danych dla których algorytm BinFFAW_β sprawdza się znacznie lepiej niż BinFFSL_β. Są to zbiory o znacznej liczbie elementów bardzo małych ($w_j < \beta$). Dla pozostałych zbiorów danych, BinFFAW_β generuje upakowania wysokiej jakości, porównywalne do upakowań generowanych przez BinFFSL_β, słabsze od nich dla średnich wartości β .

4.5 Eksperymenty z algorytmem $\text{BinFFSL}'_\beta$ w różnych wariantach

W niniejszym podrozdziale przedstawione zostaną rezultaty eksperymentów działania algorytmu $\text{BinFFSL}'_\beta$ w różnych wariantach. Algorytm oznaczony jako $\text{BinFFSL}'_{1+2\beta}$ jest to wariant $\text{BinFFSL}'_\beta$ zawierający zmiany zarówno z $\text{BinFFSL}'_{1\beta}$ jak i $\text{BinFFSL}'_{2\beta}$. W wariancie $\text{BinFFSL}'_{1\beta}$ modyfikacja polega na powtórным przetwarzaniu listy po dodaniu elementu niepodzielnego. W $\text{BinFFSL}'_{2\beta}$ - zmianie uległo sortowanie.

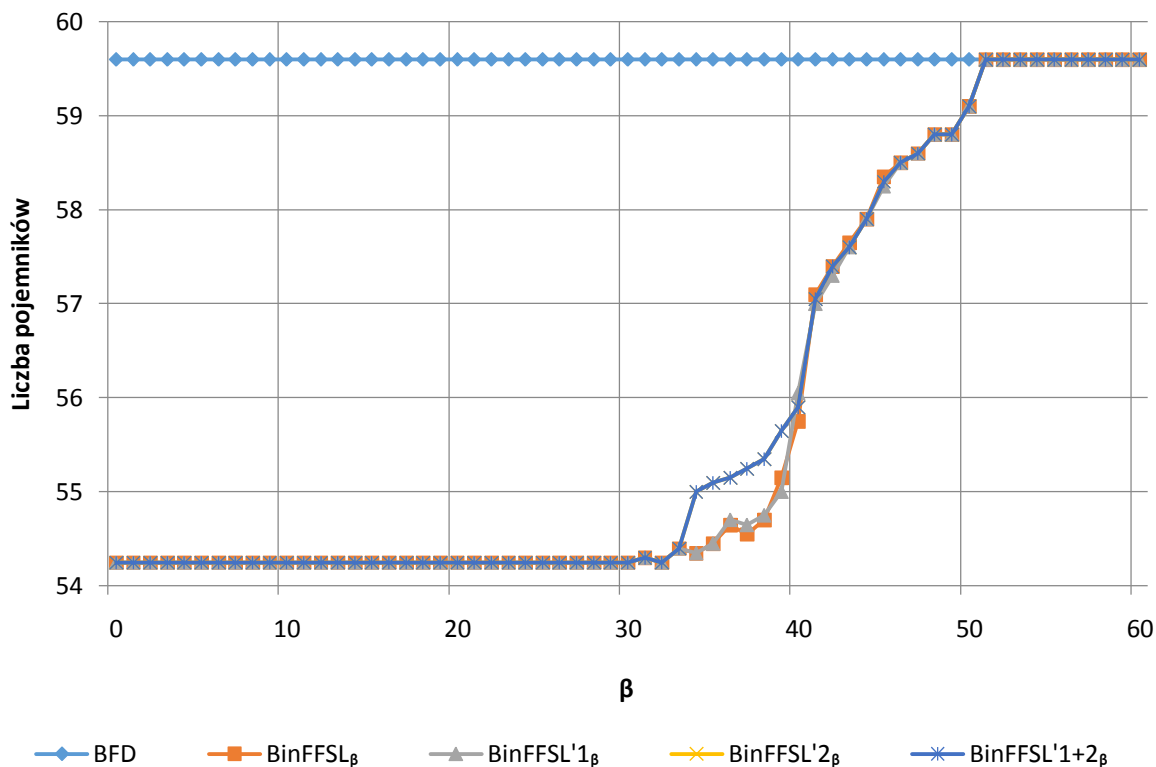
Porównując dane z wykresów 4.9 i 4.1 widać, że algorytmy z rodziny BinFFSL_β osiągają znacznie lepsze wyniki niż algorytmy proste. W przypadku algorytmów prostych, wyniki identyczne jak dla klasycznego BPP osiągały dla $\beta > 40$, gdzie algorytmy z rodziny BinFFSL_β dopiero dla $\beta > 51$. Dla wartości $\beta < 30$ omawiane algorytmy regularnie znajdują upakowania optymalne, na podstawie wzoru (1). Różnice pomiędzy poszczególnymi wariantami $\text{BinFFSL}'_\beta$, są widoczne dla wartości β pomiędzy 30 a 51. Modyfikacja zmieniając sortowanie dominuje nad modyfikacje z powtórным przetwarzaniem listy elementów - w efekcie na wykresie nie widać różnic na liniach je opisujących (pomiędzy algorytmami $\text{BinFFSL}'_{2\beta}$ i $\text{BinFFSL}'_{1+2\beta}$). Bardzo dużą poprawę przynosi algorytm $\text{BinFFSL}'_{1\beta}$ - niestety, jest to cecha rozwiązań z "Data set 1 for BPP-1" z $W = 1$ - dla pozostałych zbiorów danych testowych wyniki $\text{BinFFSL}'_{1\beta}$ są znacznie mniej obiecujące.



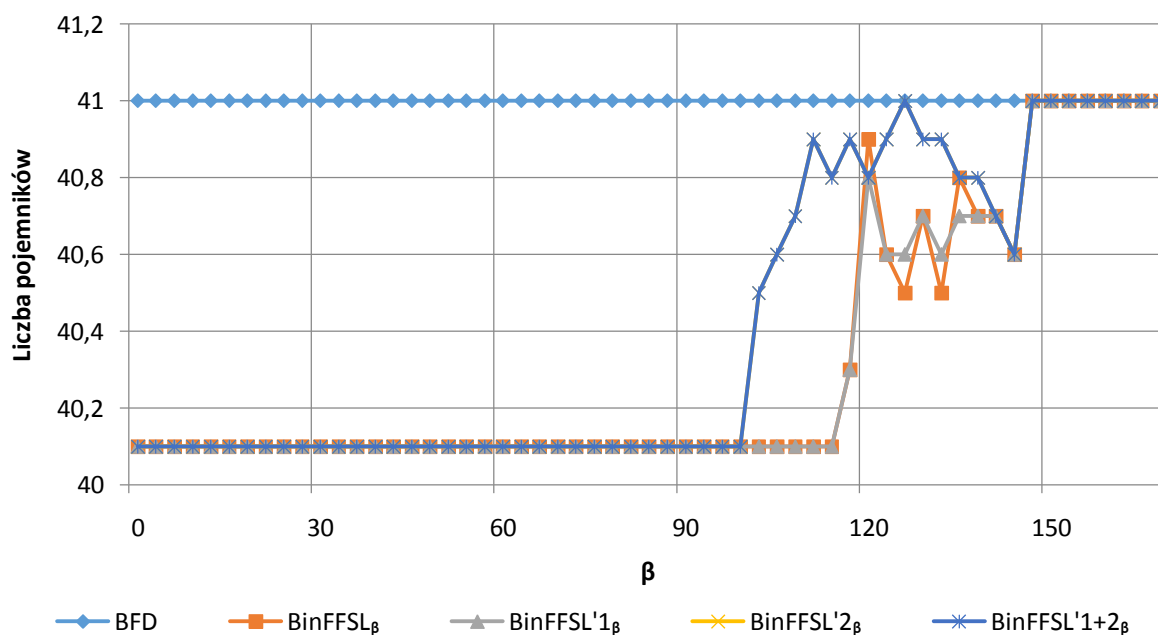
Wykres 4.9 Porównanie działania wariantów algorytmu $\text{BinFFSL}'_\beta$ dla danych N2C2W1

Również dla zbioru N2C2W4 (Wykres 4.10) algorytm $\text{BinFFSL}'_\beta$ osiąga upakowania bardzo wysokiej jakości - rozwiązania zaczynają odbiegać od poziomu rozwiązania optymalnego problemu w wariancie ciągłym dopiero dla $\beta > 33$ a jest to spowodowane kompletnym brakiem elementów, które można podzielić bardziej niż na dwa fragmenty (elementy w tych zbiorach mogą mieć maksymalnie rozmiar 100 - czyli $\beta > 33$ mogą być dzielone jedynie na dwie części) oraz bardzo małą liczbą elementów podzielnych. Wpływ modyfikacji na wyniki w tym przypadku jest znacznie mniej

zauważalny. $\text{BinFFSL}'1_\beta$ na przedziale $30 < \beta < 45$ daje raz lepsze, raz gorsze wyniki od wersji standardowej - przy czym jest minimalnie wolniejsza (generowanie upakowań dla danych N2C2W4 dla 60 różnych wartości parametru β - czas wykonania algorytmu BinFFSL_β - 12,191, a $\text{BinFFSL}'1_\beta$ - 12,529). $\text{BinFFSL}'2_\beta$ oraz $\text{BinFFSL}'1+2_\beta$ dla żadnej z wartości parametru β nie przyniosły poprawy upakowań.



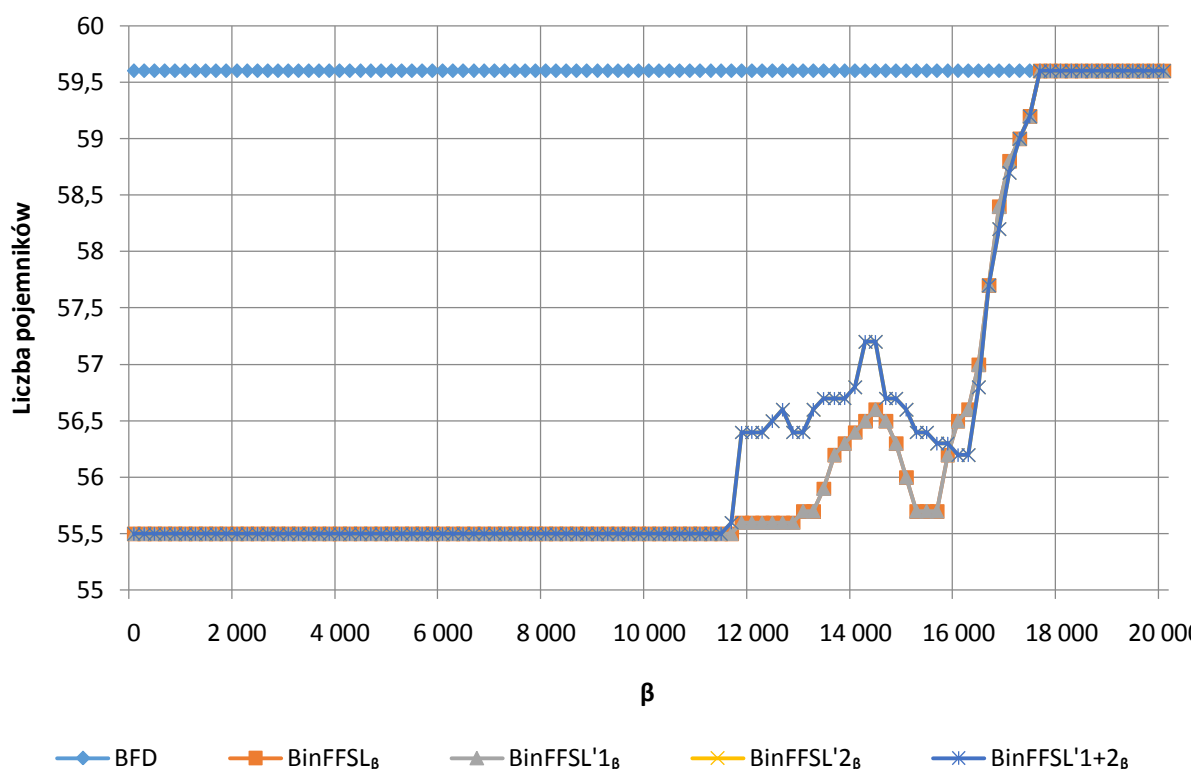
Wykres 4.10 Porównanie działania wariantów algorytmu $\text{BinFFSL}'_\beta$ dla danych N2C2W4



Wykres 4.11 Porównanie działania wariantów algorytmu $\text{BinFFSL}'_\beta$ dla danych N2W2B2

Kolejne dwa wykresy (4.11 i 4.12) potwierdzają, że algorytmy $\text{BinFFSL}'2_\beta$ oraz $\text{BinFFSL}'1+2_\beta$ (mimo poprawy rozwiązania dla danych HARD dla $\beta \approx 16\,000$) są gorsze niż standardowy BinFFSL_β . Algorytm $\text{BinFFSL}'1_\beta$ w przypadku danych N2W2B2 daje mniej więcej takie same wyniki jak standardowa wersja algorytmu, lecz w zależności od punktu, raz jest od niego gorszy a raz nie.

Podsumowując algorytm $\text{BinFFSL}'2_\beta$ okazał się korzystny tylko dla bardzo specyficznych danych i najprawdopodobniej nie warto go stosować. Stosowanie $\text{BinFFSL}'1_\beta$ daje zaś nadzieję znalezienia rozsądniejszego rozwiązania i potencjalnie warto z niego korzystać, ewentualnie próbować rozwiązywać problem oboma algorytmami i wybierać korzystniejszą opcję. Algorytm $\text{BinFFSL}'1_\beta$ generuje upakowania znacznie lepsze od BinFFSL_β na danych $NxCxW1$, jednocześnie generując upakowania na podobnym poziomie dla innych zbiorów danych. Mimo zmiany złożoności algorytm ciągle zachowuje rozsądny czas działania (np. dla wygenerowania upakowań na potrzeby wykresu dla wszystkich instancji danych HARD czas działania algorytmu BinFFSL_β to 25,092 przy czasie $\text{BinFFSL}'1_\beta$ wynoszącym 26,176 sekundy).



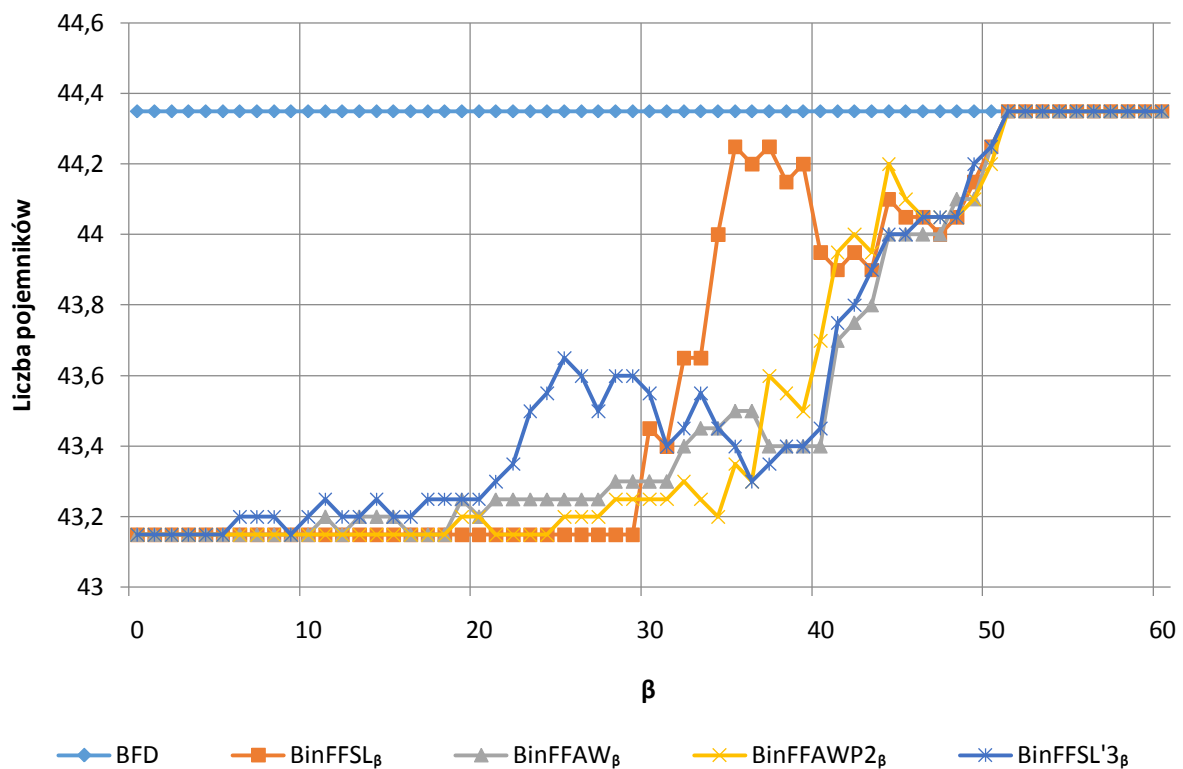
Wykres 4.12 Porównanie działania wariantów algorytmu $\text{BinFFSL}'_\beta$ dla danych HARD

4.6 Eksperymenty z algorytmami $\text{BinFFAWP}2_\beta$ i $\text{BinFFSL}'3_\beta$

Algorytmy $\text{BinFFAWP}2_\beta$ oraz $\text{BinFFSL}'3_\beta$, opisane w rozdziale 3.3, powstały jako wynik połączenia algorytmów BinFFAW_β oraz BinFFSL_β . $\text{BinFFAWP}2_\beta$ korzysta z sortowania zdefiniowanego dla algorytmu BinFFAW_β oraz schematu pakowania algorytmu BinFFSL_β . $\text{BinFFSL}'3_\beta$, zgodnie z nazwą, wykorzystuje sortowanie z algorytmu BinFFSL_β . W $\text{BinFFSL}'3_\beta$ schemat pakowania elementów pochodzi z BinFFAW_β .

Dla danych N2C2W1 (Wykres 4.13) wyniki $\text{BinFFSL}'3_\beta$ okazały się być gorsze niż wyniki BinFFAW_β . Zmiana sortowania w algorytmie BinFFSL_β przynosi dość sensowne wyniki. Średnia

liczba pojemników w upakowaniach utworzonych przez BinFFAWP2_β jest niższa niż dla BinFFSL_β i porównywalna do otrzymanej przy użyciu BinFFAW_β . Kosztem jednak jest czas wykonania - o ile algorytm $\text{BinFFSL}'3_\beta$ działa w czasie porównywalnym do BinFFAW_β , o tyle BinFFAWP2_β działa kilkukrotnie wolniej niż BinFFSL_β - wynika to z innej struktury listy elementów, w której na końcu nie zawsze występują elementy podzielne i algorytm BinFFAWP2_β znacznie częściej dochodzi do sytuacji, w której dopełnia elementy algorytmem BinBF_β który ma znacznie gorszą złożoność (dodanie każdego elementu wymaga przejrzenia całej listy elementów w przypadku sortowania proponowanego algorytmu). Poza tym, sprawdzanie warunku W3 ze zmienionym sortowaniem w zastosowanej implementacji jest bardziej czasochłonne.

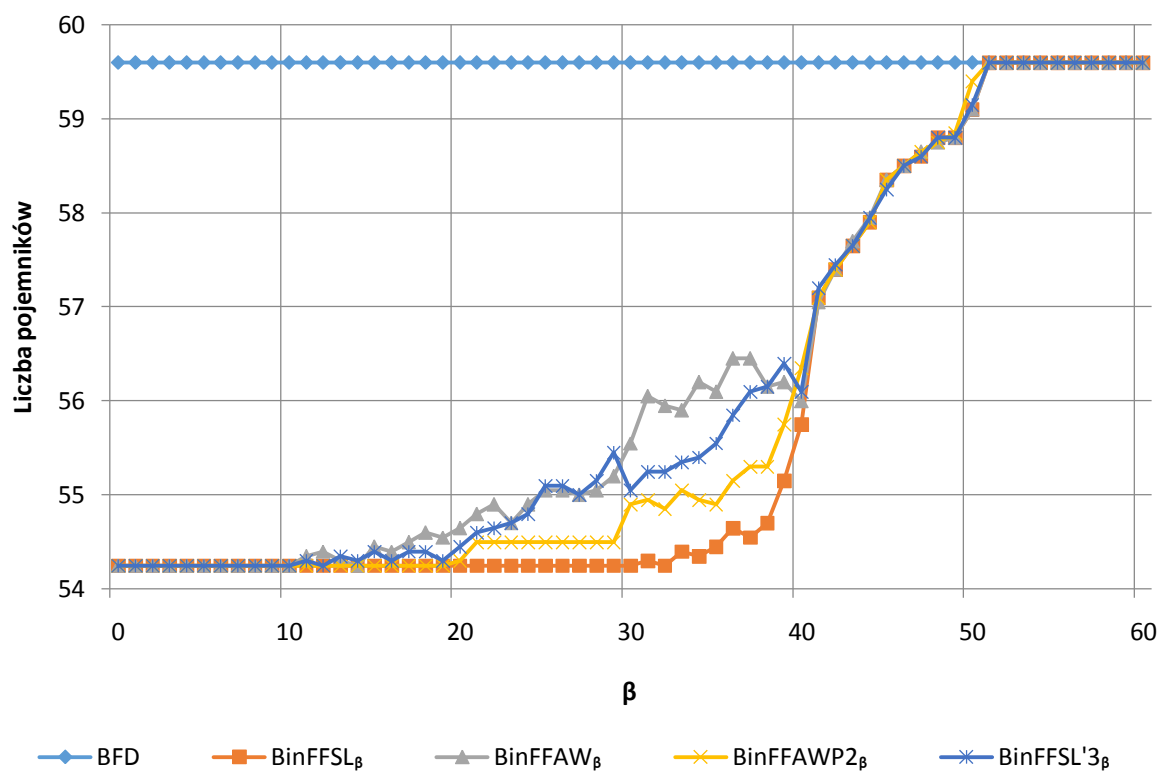


Wykres 4.13 Wyniki działania algorytmów BinFFAWP2_β i $\text{BinFFAW}'3_\beta$ dla danych N2C2W1

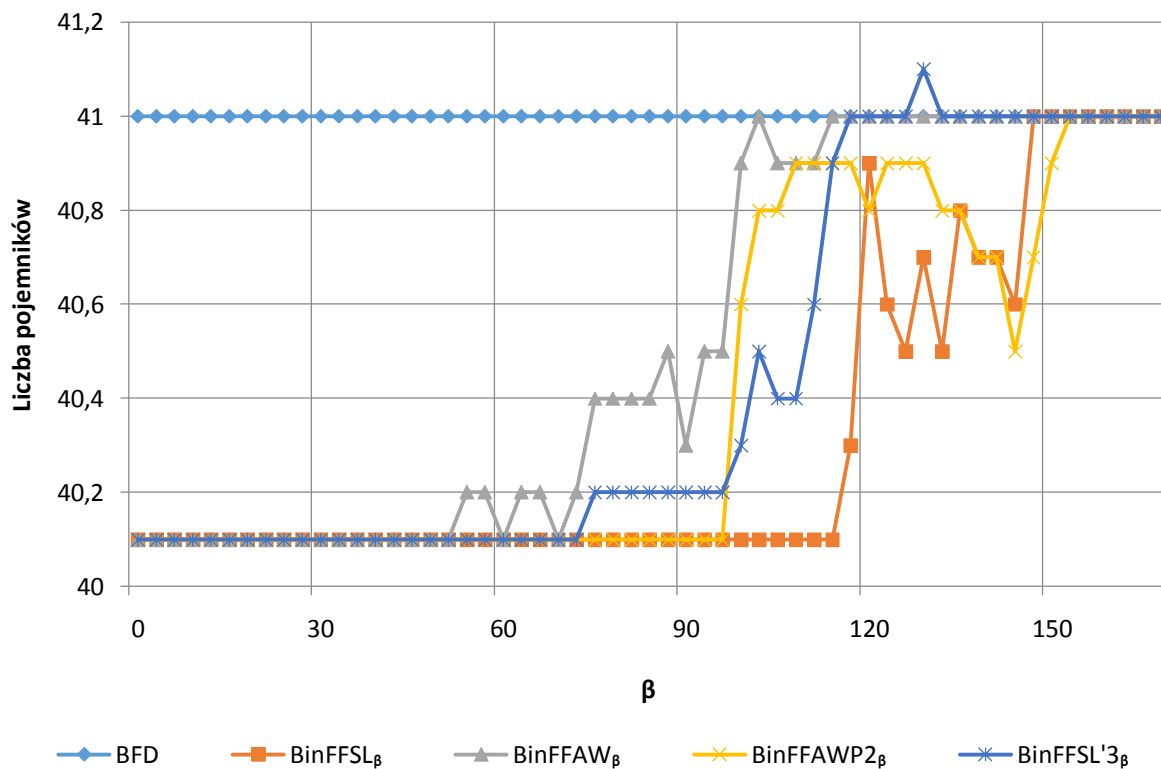
W przypadku danych N2C2W4 zgodnie z wykresem 4.14 algorytm $\text{BinFFSL}'3_\beta$ znajduje minimalnie lepsze rozwiązania od BinFFAW_β dla $30 < \beta < 40$, zaś algorytm BinFFAWP2_β działa gorzej niż BinFFSL_β . Również tutaj można zauważyć znaczny wzrost czasu działania BinFFAWP2_β względem BinFFSL_β .

Wykresy 4.15 i 4.16 pokazują podobne tendencje. Wartym zauważenia jest, że zarówno $\text{BinFFSL}'3_\beta$ jak i BinFFAWP2_β dla pewnych wartości parametru β wygenerowały upakowanie gorsze od rozwiązania klasycznego problemu pakowania dla tych samych danych.

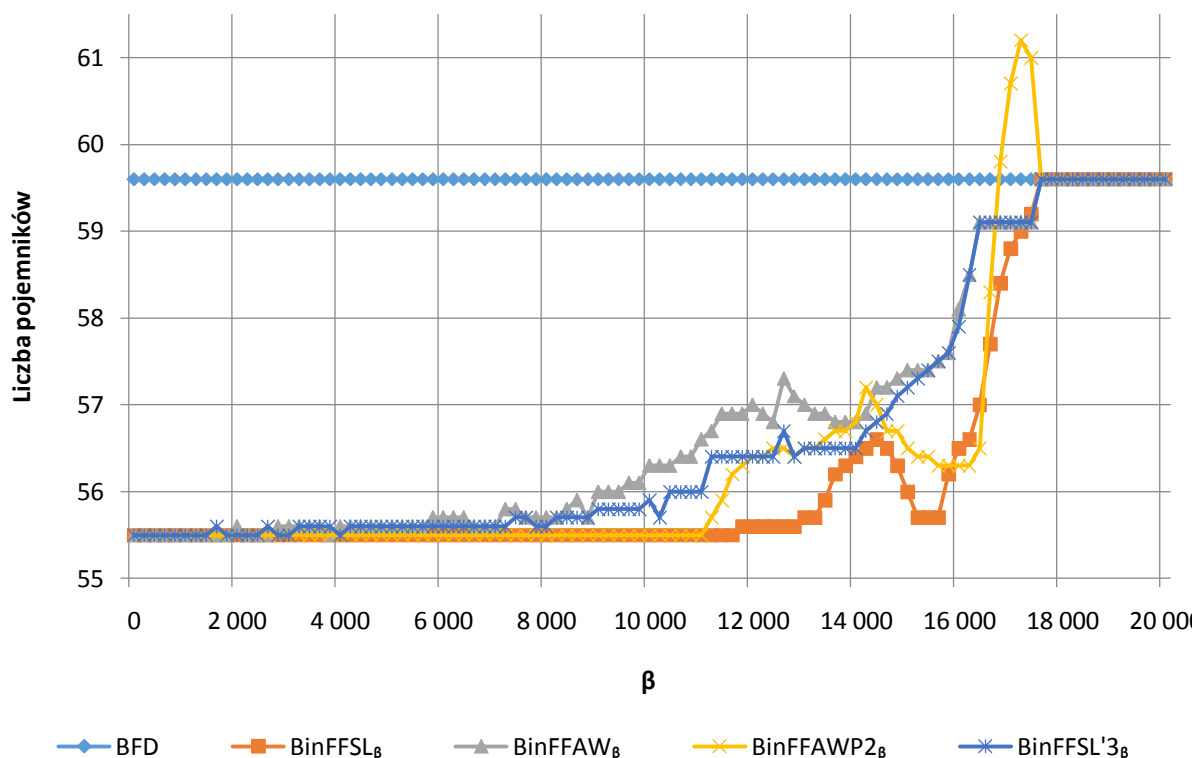
Podsumowując, zmiana sortowania w $\text{BinFFSL}'3_\beta$ dla części przypadków daje rozwiązania lepsze niż BinFFAW_β , nie wpływa również znacząco na wydajność. Przeciwnie wygląda sytuacja dla BinFFSL_β - tutaj zmiana sortowania i stworzenie algorytmu BinFFAWP2_β nie dość, że pogarsza osiągnięte rozwiązania, to jeszcze kilkukrotnie spowalnia czas działania algorytmu.



Wykres 4.14 Wyniki działania algorytmów BinFFAWP2 β i BinFFAW'3 β dla danych N2C2W4



Wykres 4.15 Wyniki działania algorytmów BinFFAWP2 β i BinFFAW'3 β dla danych N2W2B2



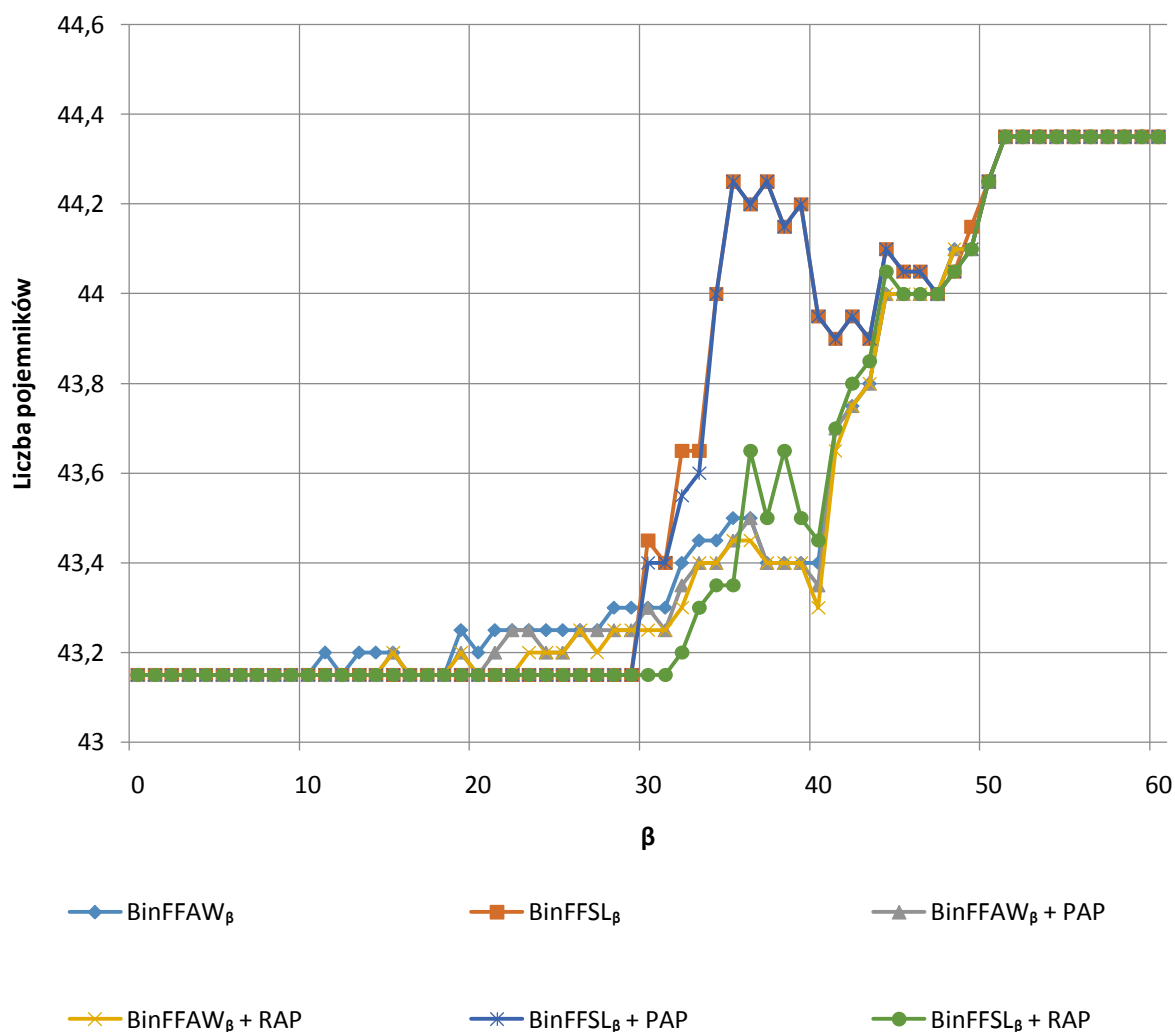
Wykres 4.16 Wyniki działania algorytmów BinFFAWP2 β i BinFFAW'3 β dla danych HARD

4.7 Eksperymenty z algorytmami poprawy

W niniejszym rozdziale zostaną opisane eksperymenty wykorzystania algorytmów poprawy wraz z algorytmami BinFFSL β oraz BinFFAW β . W eksperymentach algorytm RAP pracuje z parametrami $q = 10\%$, $p = 1\%$, które zostały dobrane podczas tworzenia rzeczonoego algorytmu. W eksperymentach w ramach algorytmu pomocniczego działa ten sam algorytm, który wygenerował upakowanie startowe.

W przypadku danych N2C2W1 (Wykres 4.17) zarówno PAP jak i RAP poprawiają jakość upakowań zarówno wygenerowanych przez BinFFSL β jak i BinFFAW β . Efekty działania PAP są dość małe i zauważalne dla paru wartości parametru β . Działanie RAP dla upakowań wygenerowanych przez BinFFAW β jest równomierne dla $20 < \beta < 40$, jednakże największy sukces algorytmu RAP to poprawa upakowań generowanych przez BinFFSL β . Udało się tutaj poprawić licznosc upakowań o średnio około 0,5-1 pojemnika. Jest to o tyle imponujący wynik, że różnica pomiędzy rozwiązaniem optymalnym dla problemu pakowania w wariacie ciągłym a dla klasycznego problemu pakowania wynosi 1,2.

Bardzo pozytywną cechą tych algorytmów poprawy jest pewność, że rozwiązanie będzie nie gorsze od rozwiązania startowego. Relacja taka występuje również między algorytmem podstawowym i randomizowanym - jako, że dla pierwszej iteracji algorytmu randomizowanego parametru p i q wynoszą 0, to w praktyce wykonuje się Podstawowy Algorytm Poprawy, i jeżeli daje on poprawę dla danych wejściowych, to poprawione już rozwiązanie jest rozwiązaniem bazowym dla dalszych iteracji.

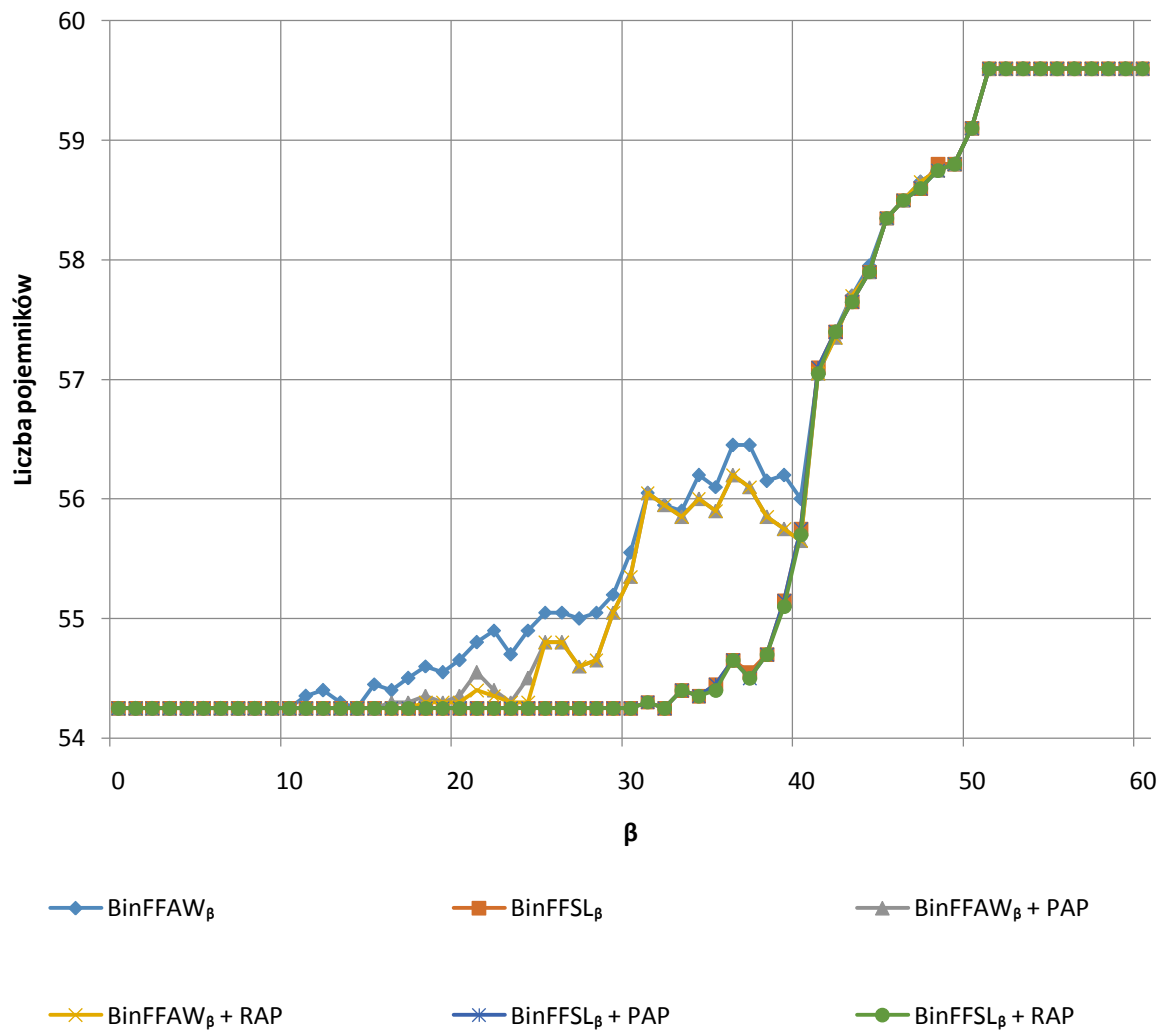


Wykres 4.17 Wyniki działania algorytmów poprawy dla danych N2C2W1

Zgodnie z wykresem 4.18 algorytmy poprawy sprawdziły się bardzo dobrze jeżeli chodzi o BinFFAW_β . Dla wartości $10 < \beta < 41$ w znacznej większości przypadków uruchomienie algorytmów poprawy znajduje lepsze upakowanie. Dla $\beta < 25$ często nowe rozwiązania są optymalnymi. Średnia liczba pojemników zmniejsza się, w zależności od β , od 0.05 pojemnika do około 0.5 pojemnika.

Poprawa w przypadku BinFFSL_β widoczna jest dla 7 wartości parametru β . W każdym z tych przypadków średnia liczba pojemników poprawiła się o 0.05 pojemnika.

Algorytmy poprawiające są dość czasochłonne, bo mimo, że konstruują w praktyce tylko rozwiązania cząstkowe, to robią to wielokrotnie a wraz ze wzrostem wartości parametru β lista elementów L_p wykorzystywana w obu algorytmach wydłuża się.



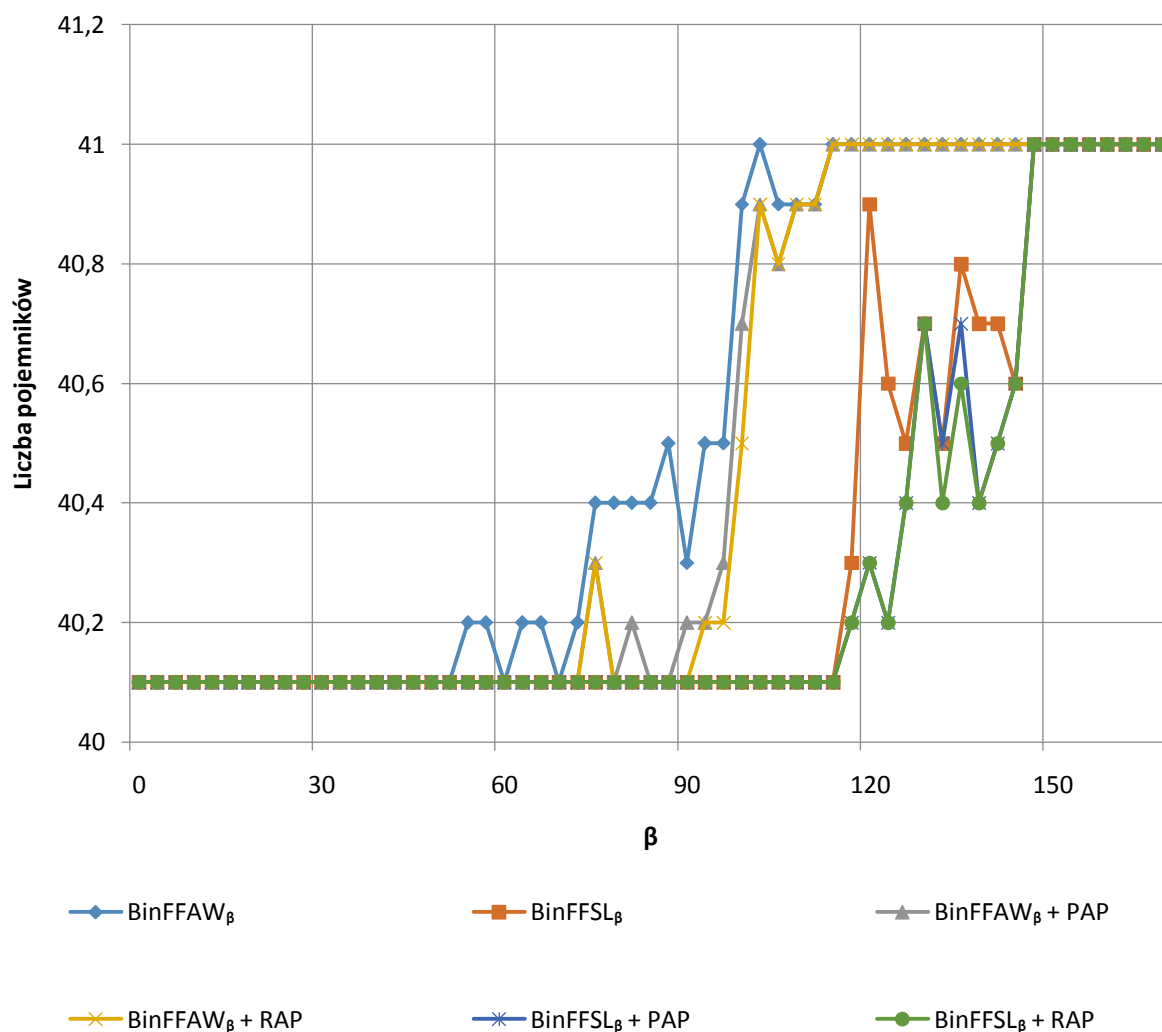
Wykres 4.18 Wyniki działania algorytmów poprawy dla danych N2C2W4

W tabeli 4.1 widać, że narzut czasowy Podstawowego Algorytmu Poprawy jest w większości przypadków akceptowalny (mimo, że dla danych HARD i BinFFSL_β trwa aż 24 sekundy - czyli więcej niż sam podstawowy algorytm). Bardziej czasochłonny jest Randomizowany Algorytm Poprawy - wynika to z wielokrotnego próbowania poprawy, dość kosztownych operacji generowania liczb losowych oraz wielokrotnego przeglądania listy pojemników oraz ich wnętrz w ciągu każdego przebiegu. Wysokie wartości czasu trwania algorytmów są związane z faktem, że dotyczą generacji kilkudziesięciu upakowań, nie pojedynczego.

Średnia poprawa jakości w tabeli 4.1 jest liczona jako średnia wartość różnic pomiędzy licznością upakowań generowanych przez algorytm podstawowy, a licznością upakowań generowanych przez algorytm poprawy na tym upakowaniu. Wartości trzeba brać z pewną dozą ostrożności - uwzględniając one zerową poprawę dla upakowań, które na starcie są optymalne oraz upakowań z wysoką wartością β , które są bardzo bliskie rozwiązań problemu klasycznego. Mimo wszystko widać, zarówno z wykresów jak i z tabeli, że algorytmy dają sensowne rezultaty. Ich kosztowność jest o tyle mniej bolesna, że w przypadku praktycznym rzadko kiedy generowana jest charakterystyka dla tak wielu wartości parametru β .

Tabela 4.1 Ocena wydajności i jakości działania algorytmów poprawy. Czas trwania liczony jest wraz z czasem trwania podstawowego algorytmu.

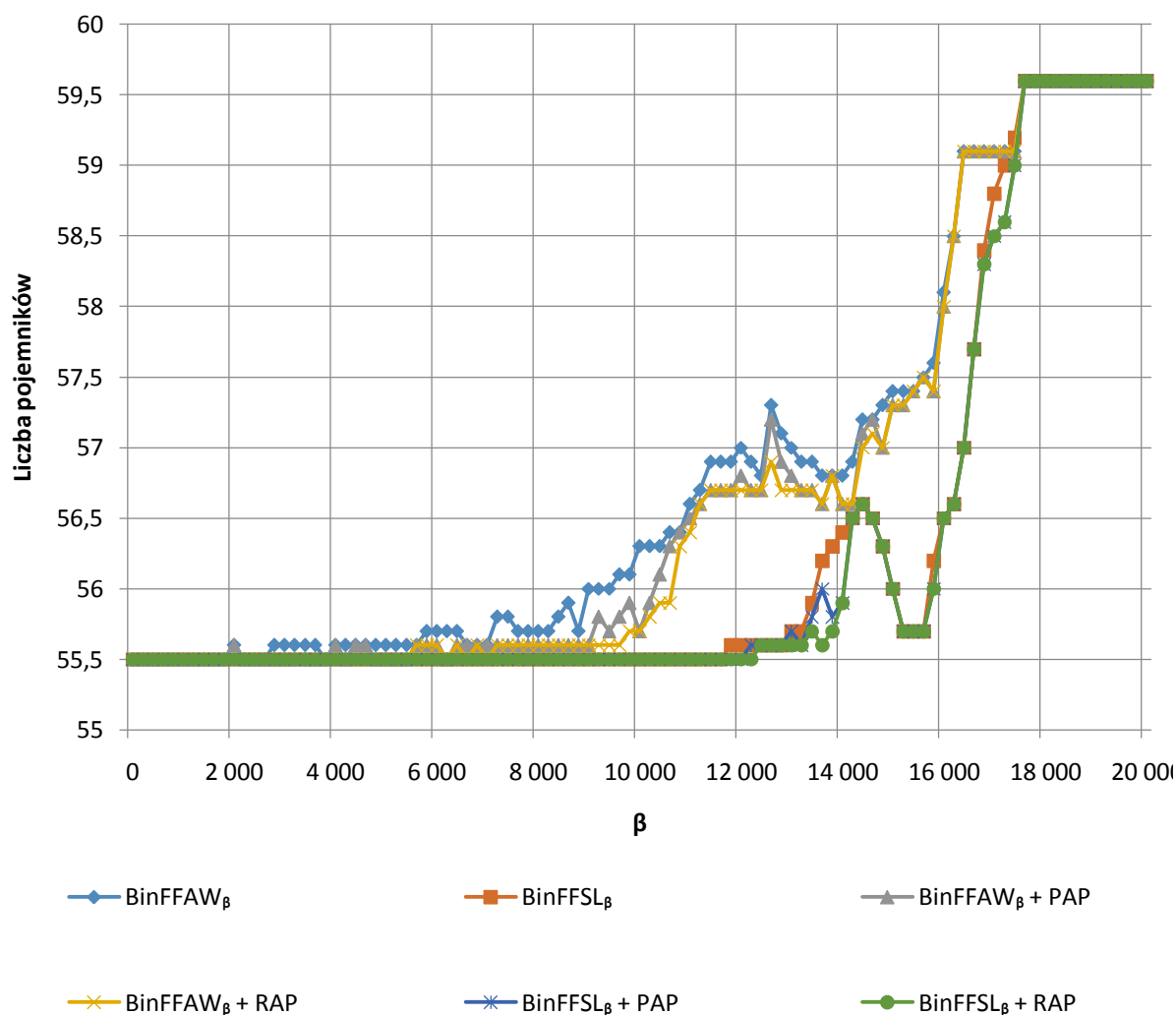
Zbiór danych		BinFFAW _{β}		BinFFSL _{β}	
		Podstawowy Algorytm Poprawy	Randomizowany Algorytm Poprawy	Podstawowy Algorytm Poprawy	Randomizowany Algorytm Poprawy
N2C2W1	Czas trwania[s] bez alg. popraw.	10,73		8,583	
	Czas trwania[s]	11,743	25,135	14,268	38,105
	Średnia poprawa jakości	0,013	0,021	0,004	0,107
N2C2W4	Czas trwania[s] bez alg. popraw.	12,191		9,992	
	Czas trwania[s]	16,288	53,068	17,593	54,375
	Średnia poprawa jakości	0,116	0,125	0,002	0,005
N2W2B2	Czas trwania[s] bez alg. popraw.	10,681		7,363	
	Czas trwania[s]	11,556	29,934	14,438	36,994
	Średnia poprawa jakości	0,049	0,058	0,032	0,035
HARD	Czas trwania[s] bez alg. popraw.	25,097		18,77	
	Czas trwania[s]	34,264	95,153	42,262	119,552
	Średnia poprawa jakości	0,093	0,124	0,028	0,036



Wykres 4.19 Wyniki działania algorytmów poprawy dla danych N2W2B2

Dla danych HARD (Wykres 4.20) algorytm poprawy zwiększa jakość rozwiązania praktycznie dla połowy dziedziny parametru β w szczególności osiągając rozwiązania optymalne albo bardzo ich bliskie.

Podsumowując, zaproponowane algorytmy poprawy często poprawiają otrzymane upakowania. Najlepsze efekty uzyskują z upakowaniami znajdowanymi przez algorytm BinFFAW $_{\beta}$, ale również dla BinFFSL $_{\beta}$ czasami udaje im się znaleźć lepsze upakowanie. Wymagają jednak znacznej ilości czasu (zwłaszcza RAP). W rozdziale 1.3 przytoczone zostały dwa przykłady. Pierwszy z nich opisuje problem zakupu kształtowników. Rozwiązanie go warto wspierać algorytmami poprawy, gdyż czas nie jest tutaj kluczowy. Drugi przykład dotyczył harmonogramowania pakietów w czasie rzeczywistym. W tym przypadku, należy się dokładnie zastanowić nad wykorzystaniem algorytmów poprawy oraz dokonać wyboru będącego kompromisem pomiędzy jakością znajdowanych upakowań a czasem działania algorytmu.



Wykres 4.20 Wyniki działania algorytmów poprawy dla danych HARD

4.8 Poprawianie jakości rozwiązań wykorzystujące charakterystykę

Problem BPP_β charakteryzuje, że każde dopuszczalne upakowanie problemu BPP_β dla konkretnych danych i zadanej wartości parametru β jest poprawne również dla tych samych danych i wyższej wartości parametru β . Dzięki temu, mając wygenerowaną charakterystykę działania algorytmów dla zadanych danych wejściowych i wielu wartościach β możemy ją poprawić poprzez określenie wartości rozwiązania dla danej wartości $\beta = x$ jako najniższej wartości rozwiązania ze zbioru wartości rozwiązań dla $\beta \in (x, \infty)$ - w przypadku wielu charakterystyk przytoczonych w rozdziale 4 można zauważyć, że zdarza się, że algorytmy dla wyższych wartości β osiągają lepsze wartości. W sytuacjach, w których bardzo istotne jest znalezienie jak najlepszego rozwiązania, można spróbować, mimo poszukiwania rozwiązania dla określonej wartości β , wygenerować większą liczbę rozwiązań również dla wyższych wartości β oraz wybierać najlepsze rozwiązanie. W doborze liczby dodatkowych rozwiązań można kierować się na podstawie relacji między rozmiarem elementów, a aktualną wartością β . Algorytmy konstrukcyjne przedstawione w niniejszej pracy w trakcie działania rozbudowują dotychczas wygenerowane rozwiązanie cząstkowe, co za tym idzie, zrównoleglenie obliczeń w ich przypadku jest zadaniem trudnym, może niewykonalnym, jednak w sytuacji

rozwiązywania problemów z różnymi wartościami β , w bardzo prosty sposób można uruchomić parę instancji algorytmu na różnych rdzeniach procesora.

Przykładem, w którym takie podejście było by uzasadnione jest szukanie rozwiązania przy pomocy algorytmu BinFFSL_β dla danych HARD dla $\beta \approx 14\,000$. Przy $\beta \approx 15\,500$ następuje gwałtowna poprawa jakości otrzymywanych rozwiązań i odkrycie tego może pozwolić na oszczędność około 1 porcji zasobu.

4.9 Wnioski

Eksperymenty wykonane w ramach pracy pokazują, że działanie poszczególnych algorytmów można analizować oddzielnie dla trzech przedziałów wartości parametru β - przedziale początkowym, środkowym oraz końcowym. Dokładna długość przedziałów jest różna w zależności od danych, dla których zostaje rozwiązywany problem. Początkowy przedział jest najdłuższy, zaczyna się od $\beta = 0$ i dotyczy realizacji, dla których istnieje bardzo dużo elementów podzielnych w tym elementów o wadze znacznie przekraczającej 2β . Przedział środkowy charakteryzuje się mniejszym udziałem elementów podzielnych na liście L oraz małą, ale niezerową liczbą elementów znacznie przekraczających 2β . Przedział końcowy zaczyna się wraz z końcem przedziału środkowego a kończy w miejscu, dla którego nie występują już elementy podzielne na liście L . Jest to najkrótszy przedział. Na przedziale końcowym, wraz z wzrostem wartości β zauważalne jest znaczne pogarszanie się upakowań. Realizacje dla ostatnich wartości parametrów β na tym przedziale znajdują upakowania o liczności identycznej z licznnością upakowań znajdowanych przez algorytm BFD. W realizacjach mających wartości parametru β z przedziału końcowego na liście występuje mała liczba elementów podzielnych. Elementy podzielne są charakteryzowane tam podzielnością co najwyżej na trzy części.

Na przedziale początkowym najlepiej radzą sobie algorytmy BinFFSL_β oraz $\text{BinFFSL}'_\beta$ - działają one szybko i zazwyczaj znajdują upakowania optymalne. Również wyniki BinFFAW_β są satysfakcjonujące, w części przypadków udaje mu się znaleźć upakowania optymalne albo im bardzo bliskie. Pod względem czasu działania metoda BinFFAW_β jest porównywalna do BinFFSL_β . Metoda BinBFI_β , będąca najlepszą wśród metod prostych, tworzy upakowania praktycznie zawsze gorsze od upakowań generowanych przez BinFFAW_β .

Algorytmy poprawy działające dla wartości β z przedziału początkowego przynoszą dość małe korzyści. Jest to spowodowane generowaniem upakowań optymalnych lub im biskich w tym przedziale wartości β - w przypadku tych drugich, algorytmy poprawy często sprowadzają je do rozwiązań optymalnych.

Wśród algorytmów konstrukcyjnych działających dla wartości β z przedziału środkowego wyniki są bardziej zróżnicowane. Średnio najlepsze wyniki również w tym przypadku daje algorytm BinFFSL_β , ale dla konkretnych instancji problemu zdarza się, że BinFFAW_β lub $\text{BinFFSL}'_{1\beta}$ generują lepsze upakowania. Liczność pojemników w upakowaniach zaczyna zwiększać się i oddalać od licznności upakowań dla problemu pakowania w wariancie ciągłym. Algorytmy proste, pomijając BinBFI_β , przestają się sprawdzać a BinBFI_β rozwiązuje problem wolniej oraz gorzej niż BinFFAW_β oraz BinFFSL_β .

Algorytmy poprawy działające dla β z przedziału środkowego dają istotną poprawę jakości, zwłaszcza, gdy upakowanie startowe jest generowane przez BinFFAW_β . Również dla upakowań otrzymanych metodą BinFFSL_β zdarza się, że algorytmy poprawy poprawiają upakowanie, jednak rzadziej i w mniejszym stopniu niż w połączeniu z upakowaniem z BinFFAW_β - jest to kolejnym potwierdzeniem bardzo wysokiej jakości upakowań generowanych przez BinFFSL_β .

W przypadku rozwiązywania problemów z β leżącą na przedziale końcowym najlepiej spisują się również BinFFSL_β , $\text{BinFFSL}'1_\beta$ oraz BinFFAW_β . Jedną z najlepszych cech BinFFAW_β jest generowanie sensownych wyników dla tego typu wartości β - może tutaj konkurować z BinFFSL_β . Jest to też motywacja do dalszej próby rozwijania metody. Są to najtrudniejsze realizacje problemu i algorytmy proste nie wykorzystują ich potencjału generując upakowania zbliżone do rozwiązań generowanych w problemie BPP.

W pracy zidentyfikowana została klasa zbiorów danych, reprezentowana przez zbiory $N \times C \times W1$, dla której algorytm BinFFSL_β , na przedziale środkowym, znajduje znacznie słabsze upakowania niż algorytm BinFFAW_β . Zbiory $N \times C \times W1$ charakteryzowane są obecnością elementów z przedziału $w_j \in [1,100]$ przy rozmiarze $C \in \{100,120,150\}$. Na przedziale środkowym, znaczna część elementów tych zbiorów ma rozmiar $w_j < \beta$. Dla takich danych, algorytm BinFFSL_β radzi sobie bardzo słabo. Problem znajdowania upakowań dla tego typu danych, poza algorytmem BinFFAW_β , dobrze rozwiązuje algorytm $\text{BinFFSL}'1_\beta$ oraz połączenie BinFFSL_β i jednego z algorytmów poprawy.

Eksperymenty pokazują, że wykorzystanie algorytmów poprawy dla takich wartości parametru β daje nadzieję na poprawę jakości upakowań – co nawet w połączeniu z dużym czasem działania jest podstawą do korzystania z nich. Złożoność tych algorytmów jest wielomianowa a czasy bezwzględne akceptowalne i w przypadku wykorzystania do wsparcia w planowaniu zakupów w wielkich przedsiębiorstwach mogą okazać się przydatne. Najlepsze pod względem jakości uzyskanych upakowań wyniki można uzyskać używając RAP wraz z heurystyką opisaną w podrozdziale 4.7 oraz algorytmami BinFFAW_β oraz BinFFSL_β .

Podsumowanie

W pracy dokonany został przegląd istniejących metod rozwiązywania problemu pakowania pojemników elementami częściowo podzielnymi. Zostały zaproponowane trzy nowe algorytmy konstrukcyjne oraz dwa algorytmy poprawy.

Opracowane algorytmy konstrukcyjne generują upakowania znacznie lepiej niż algorytmy proste. Cechuje je sensowna, wielomianowa złożoność obliczeniowa. Algorytm BinFFAW_β dla wielu instancji danych oraz ograniczeń podzielności działa porównywalnie do BinFFSL_β . Zwłaszcza ciekawe jest jego działanie dla sytuacji, w których bardzo mała część elementów jest podzielna oraz ich podzielność jest charakteryzowana małą elastycznością - wtedy jakość generowanych przez BinFFAW_β upakowań jest bardzo wysoka i nieosiągalna dla algorytmów prostszych. Algorytm $\text{BinFFSL}'_1$ działa w podobnym czasie do BinFFSL_β oraz generuje rozwiązania w większości przypadków bardzo podobne ale dla szczególnych przypadków zdarza się mu osiągnąć znacznie lepszy wynik. Algorytmy BinFFSL_β oraz BinFFAW_β mogą stanowić bazę do dalszych modyfikacji - zawierają one wiele parametrów oraz własności, które można zmieniać bez porzucania ogólnej koncepcji działania.

Oba zaproponowane algorytmy poprawy, mimo swojej kosztowności, dają nadzieję na poprawę upakowań nawet bardzo wysokiej jakości. Algorytm PAP jest dość szybki. Algorytm RAP działa wolniej ale jest znacznie bardziej perspektywiczny. Korzystają one z algorytmu pomocniczego, którym może być dowolny algorytm konstrukcyjny rozwiązywania BPP_β . Daje to dużą swobodę wyboru oraz możliwość dostosowania do potrzeb jeżeli chodzi o czas działania, jakość generowanych upakowań oraz o dopasowanie się do specyfiki otrzymanego upakowania startowego.

Z uwagi na złożoność problemu należącą do klasy NP – *trudne*, wszystkie omawiane algorytmy opierają się na heurystykach – skutkuje to występowaniem pewnych anomalii. W trakcie eksperymentów pokazano, że istnieje klasa danych dla której algorytm BinFFSL_β osiąga znacznie gorsze wyniki niż w większości przypadków. Dla klasy tej najlepiej radzi sobie algorytm BinFFAW_β . Algorytm $\text{BinFFSL}'_1$ i połączenie BinFFSL_β z algorytmem poprawy dają również lepsze wyniki niż algorytm BinFFSL_β w przypadku tej klasy danych. Mimo to, na podstawie przeprowadzonych eksperymentów, w większości przypadków najlepszym algorytmem rozwiązywania problemu BPP_β pozostaje BinFFSL_β i niniejsza praca jest tego potwierdzeniem.

Bibliografia

- [1] FLESZAR, K.; CHARALAMBOUS, C., Average-weight-controlled bin-oriented heuristics for the one-dimensional bin-packing problem. *European Journal of Operational Research*, 2011, 210.2: 176-184.
- [2] MARTELLO, S.; TOTH, P., *Knapsack problems: algorithms and computer implementations*. John Wiley & Sons, Inc., 1990, Bin-packing problem, s. 221-240.
- [3] MENAKERMAN, N.; ROM, R., Bin packing with item fragmentation. W: *Workshop on Algorithms and Data Structures*. Springer Berlin Heidelberg, 2001. s. 313-324.
- [4] NAAMAN, N.; ROM, R., Packet scheduling with fragmentation. W: *INFOCOM 2002. Twenty-First Annual Joint Conference of the IEEE Computer and Communications Societies. Proceedings. IEEE*. IEEE, 2002. s. 427-436.
- [5] PIENKOSZ, K.; TRATKIEWICZ, K., Problem optymalizacji rozkroju i spawania kształtowników. *Zeszyty Naukowe Wydziału Mechanicznego, Politechnika Koszalińska*, 35, 2004, s. 193-200.
- [6] PIENKOSZ, K., Wybrane modele i metody optymalizacji alokacji zasobów. *Prace Naukowe Politechniki Warszawskiej. Elektronika*, 2010, 174
- [7] PIENKOSZ, K., Bin packing with restricted item fragmentation. *Control & Cybernetics*, 2014, 43.4, s. 547-559.
- [8] SCHOLL, A.; KLEIN, R., Data set 1 for BPP-1, 2003, [online], [dostęp 15 maja 2017]. Dostępny w Internecie: <https://www2.wiwi.uni-jena.de/Entscheidung/binpp/bin1dat.htm>
- [9] SCHOLL, A.; KLEIN, R., Data set 2 for BPP-1, 2003, [online], [dostęp 15 maja 2017]. Dostępny w Internecie: <https://www2.wiwi.uni-jena.de/Entscheidung/binpp/bin2dat.htm>
- [10] SCHOLL, A.; KLEIN, R., Data set 3 for BPP-1, 2003, [online], [dostęp 15 maja 2017]. Dostępny w Internecie: <https://www2.wiwi.uni-jena.de/Entscheidung/binpp/bin3dat.htm>
- [11] SHACHNAI, H.; TAMIR, T.; YEHEZKELY, O., Approximation schemes for packing with item fragmentation. *Theory of Computing Systems*, 2008, 43.1, s. 81-98.
- [12] VANDERBECK, F, Computational study of a column generation algorithm for bin packing and cutting stock problems. *Mathematical Programming*, 1999, 86.3, s. 565-594.

Wykaz symboli i skrótów

Wykaz symboli	
Symbol	Wyjaśnienie
C	Rozmiar zasobu
M	Zbiór pojemników
m	Liczność zbioru M
N	Zbiór elementów
n	Liczność zbioru N
w_j	Rozmiar elementu o indeksie j
c_j	Wolne miejsce w pojemniku o indeksie j
x_{ij}	Decyzja alokacyjna pomiędzy elementem j a pojemnikiem i
β	Minimalny rozmiar fragmentu w przypadku dzielenia elementów

Wykaz skrótów	
Skrót	Rozwinięcie
BPP	Bin Packing Problem
FF	First Fit
FFD	First Fit Decreasing
BF	Best Fit
BFD	Best Fit Decreasing
BinFF	Bin First Fit
BinBF	Bin Best Fit
BinBFD	Bin Best Fit Decreasing
BinBFI	Bin Best Fit Increasing
B2F	Best Two Fit
MBS	Minimum bin slack
BOH	Bin Oriented Heuristic
BinFFSL	Bin First Fit Small Large

Skrót	Rozwinięcie
W1	Warunek 1
W2	Warunek 2
W3	Warunek 3
BinFFAW	Bin First Fit Average Weight
BinFFAWP2	Bin First Fit Average Weight Pack 2
PAP	Podstawowy Algorytm Poprawy
RAP	Randomizowany Algorytm Poprawy

Spis rysunków, wykresów i tabel

Spis rysunków		
Rysunek 2.1	Rezultat pracy algorytmu BinFF_{β}	7
Rysunek 2.2	Rezultat pracy algorytmu BinFFSL_{β}	9
Rysunek 3.1	Rezultat pracy algorytmu BinFFAW_{β}	12

Spis wykresów		
Wykres 4.1	Porównanie działania prostych algorytm dla danych N2C2W1	22
Wykres 4.2	Porównanie działania prostych algorytm dla danych N2C2W4	22
Wykres 4.3	Porównanie działania prostych algorytm dla danych N2W2B2	23
Wykres 4.4	Porównanie działania prostych algorytm dla danych HARD	23
Wykres 4.5	Wyniki działania algorytmu BinFFAW_{β} dla danych N2C2W1	24
Wykres 4.6	Wyniki działania algorytmu BinFFAW_{β} dla danych N2C2W4	25
Wykres 4.7	Wyniki działania algorytmu BinFFAW_{β} dla danych N2W2B2	25
Wykres 4.8	Wyniki działania algorytmu BinFFAW_{β} dla danych HARD	26
Wykres 4.9	Porównanie działania wariantów $\text{BinFFSL}'_{\beta}$ dla danych N2C2W1	27
Wykres 4.10	Porównanie działania wariantów $\text{BinFFSL}'_{\beta}$ dla danych N2C2W4	28
Wykres 4.11	Porównanie działania wariantów $\text{BinFFSL}'_{\beta}$ dla danych N2W2B2	28
Wykres 4.12	Porównanie działania wariantów $\text{BinFFSL}'_{\beta}$ dla danych HARD	29
Wykres 4.13	Wyniki działania algorytmów BinFFAWP2_{β} i $\text{BinFFAW}'3_{\beta}$ dla danych N2C2W1	30
Wykres 4.14	Wyniki działania algorytmów BinFFAWP2_{β} i $\text{BinFFAW}'3_{\beta}$ dla danych N2C2W4	31
Wykres 4.15	Wyniki działania algorytmów BinFFAWP2_{β} i $\text{BinFFAW}'3_{\beta}$ dla danych N2W2B2	31
Wykres 4.16	Wyniki działania algorytmów BinFFAWP2_{β} i $\text{BinFFAW}'3_{\beta}$ dla danych HARD	32
Wykres 4.17	Wyniki działania algorytmów poprawy dla danych N2C2W1	33
Wykres 4.18	Wyniki działania algorytmów poprawy dla danych N2C2W4	34
Wykres 4.19	Wyniki działania algorytmów poprawy dla danych N2W2B2	36

Wykres 4.20	Wyniki działania algorytmów poprawy dla danych HARD	37
-------------	---	----

Spis tabel		
Tabela 4.1	Ocena wydajności i jakości działania algorytmów poprawy	35

Opis zawartości płyty CD

Wraz z pracą inżynierską załączona zostaje płyta CD zawierająca:

- Plik w formacie pdf zawierający tekst pracy
- Folder „src” ze źródłami biblioteki użytej do eksperymentów